

VŠST LIBEREC
Fakulta strojní

Obor 23 - 34 - 8

Stavba výrobních strojů a zařízení

Balící a polygrafické stroje

Katedra části strojů

NÁVRH PRACOVNÍ LINKY PRO ZHOTOVENÍ PŘÍREZŮ KNIŽNÍCH DESEK

Honzák Jaroslav

DP - VS - 84/77

Vedoucí práce: Ing. Richard Drapák

Konzultanti : Oldřich Stejskal; Severografie Liberec

Rozsah práce:

Počet stran: 49

Počet příloh a tabulek: 6

Počet obrázků:---

Počet výkresů: 8

DT: 621.867

27. května 1977

Vysoká škola: strojní a textilní

Katedra: částí strojů

Fakulta: strojní

Školní rok: 1976/77

DIPLOMOVÝ ÚKOL

pro

Jaroslava Honzeka

obor 23-34-3 Výrobní stroje a zařízení, balicí a polygraf. stroje

Protože jste splnil... požadavky učebního plánu, zadává Vám vedoucí katedry ve smyslu směrnic ministerstva školství o státních závěrečných zkouškách tento diplomový úkol:

Název tématu: Návrh pracovní linky pro zhotovení přířezu knižních desek

Pokyny pro vypracování:

Přířezy knižních desek se zhotovují na dvou kotoučových nůžkách, které v současné době vyžadují plnou obsluhu. Navrhniče propojení těchto dvou strojů do pracovní linky s úsporou jedné pracovní síly.

1. Studie současného stavu techniky v závodě Ol n.p. Severografie Liberec
2. Návrh několika variant řešení -
 - a) propojení strojů dopravníkem s návrhem samonakladače
 - b) propojení strojů dopravníkem a mezoneračními zásobníky
3. Konstrukční vypracování jedné alternativy vč. kompletní výrobní dokumentace a potřebných výpočtů
4. Aplikace na podmínky v závodě Ol Liberec
5. Vypracování přivedení zprávy

Zhotovitý projekt je určen pro využití v
závodě Ol n.p. Severografie Liberec
1. července 1977, včetně výrobní dokumentace
až do 1. srpna 1977, včetně výrobní dokumentace

✓ 1976/77

Využití řady strojů a zařízení
doporučuje koupit
LIS-200, STU-100, 5
PZS-481/17

Grafia 22 3577 73

Rozsah grafických laboratorních prací **výkres sestavení + kompletní detailní dokumentace**

Rozsah průvodní zprávy: **cca 30 stran**

Seznam odborné literatury:

Prospektová literatura

Vedoucí diplomové práce: **Ing. Richard Drapák**

Konsultanti: **Ondřej Stejskal, Severografie Liberec**

Datum zahájení diplomové práce: **1.10.1976**

Datum odevzdání diplomové práce: **27.5.1977**



Vedoucí katedry

Dekan

v **Liberec**

dne **27. září** **1976**

OBSAH:

1. Úvod	str. 5
2. Rozbor dopravníku	6
2.1. Obecná část	6
2.2. Současný stav	6
2.3. Požadavky na dopravník	7
3. Návrh variant řešení	7
3.1. Propojení strojů dopravníkem s maximálně operačním zásobníkem	7
3.1.1. Výhody tohoto řešení	8
3.1.2. Nevýhody tohoto řešení	8
3.2. Propojení strojů pomocí dvou dopravníků o různých rychlostech	8
3.2.1. Výhody tohoto řešení	8
3.2.2. Nevýhody tohoto řešení	8
3.3. Porovnání způsobu řešení	9
4. Popis konstrukčního uspořádání navrženého zařízení	9
4.1. Popis konstrukčního uspořádání prvého dopravníku	10
4.2. Popis konstrukčního uspořádání druhého dopravníku	12
5. Funkce linky	13
5.1. Odstranění odpadu	15
6. Konstrukční řešení	16
6.1. Volba pásu	16
6.2. Výpočet výkonu elektromotora	17
6.2.1. Výpočet potřebného výkonu k pohonu pásu	17
6.2.2. Výpočet potřebného výkonu k pohonu řetězového dopravníku	18
6.3. Výpočet rychlosti dopravníku	19
6.4. Návrh a kontrola klínových řemenů	22
6.4.1. Klínový řemen pro řemenice	22
6.4.2. Pevnostní kontrola řemene	22
6.4.3. Klínový řemen pro variátor	23
6.5. Pevnostní výpočet bubnu	24
6.5.1. Zatížení od klínové řemenice	24
6.5.2. Zatížení od řemenice variátoru	26
6.5.3. Zatížení bubnu	28

6.5.4. Reakce v uložení a ohybové momenty	str. 29
6.5.5. Návrh čepů	32
6.5.6. Kontrola trubky bubnu	33
6.6. Kontrola válečků	34
6.6.1. Kontrola hřídele válečků	35
6.7. Kontrola ložisek	35
6.8. Výpočet per	37
7. Elektrická instalace	38
7.1. Elektromotory	38
7.2. Elektrické ovládání linky	38
7.2.1. Výpočet polohy mikrospinače	38
7.3. Funkce elektrické instalace	41
8. Zhdnocení	42
9. Seznam příloh	47
10. Seznam použité literatury	48
11. Závěr	49

1. Úvod

Téma diplomového úkolu spadá do oblasti manipulace a přepravy materiálu. Tato oblast je v současné době v popředí zájmu. Manipulace s materiélem, která zahrnuje komplex problémů s řešením optimalizace toku materiálu v národním hospodářství, představuje významný a důležitý úsek národního hospodářství. V oblasti manipulace s materiélem pracuje u nás ve srovnání s celosvětovým průměrem vysoký počet pracovníků. Vzhledem k této skutečnosti nelze, s ohledem na potřebu národního hospodářství, stav pracovníků na tomto hospodářském úseku dále zvyšovat, ale uskutečněním potřebných racionalizačních opatření musí dojít k podstatnému snížení počtu pracovníků. Prozatím jsou v oblasti manipulace s materiélem značné rezervy pracovních sil.

Dalším úkolem spadajícím do oblasti manipulace s materiélem je odstranění namáhavé práce pracovníků. Řešení tohoto neméně důležitého úkolu, konkrétně v národním podniku Severografie v Liberci při výrobě lepenkových přírezů knižních desek, je námětem této diplomní práce.

Oblast manipulace s materiélem byla v minulosti velmi opomíjena, což dokumentuje i nedostatečná návaznost v ostatních odvětvích národního hospodářství, například nedostatečný sortiment dopravních pásů z plastických hmot. Opomíjení této oblasti v minulosti dokazuje též nedostatek vhodné odborné literatury.

2. Rozbor dopravníku

2.1. Obecná část

Knižní desky jsou vyrobeny z lepenkových přířezů (přední díl, zadní díl, hřbetník). Tyto přířezy se vylepí do přířezu plátna, čímž vzniknou knižní desky. Po různých dokončovacích a povrchových úpravách (obléení hřbetu, ražení titulu, grafická úprava) se do nich zařešuje knižní blok.

Požadavky kladené na kvalitu lepenkových přířezů jsou rovnost a kolmost hran.

2.2. Současná situace

(rozmištění strojů na dílně viz příloha 1)

Přířezy knižních desek se vyrábí z lepenkových archů o maximálních rozměrech 680 x 1180 mm. Tyto archy se přivázejí vystohované na paletě k prvnímu bezacímu stroji. (kotoučové nůžky: typ KP 138). Zde obsluha bere archy po jednom z palety a pokládá je na nakládací stůl nůžek. Zatlačením na zadní stranu archu jej vtlačuje mezi první dvojici dopravních válečků, které podávají arch mezi dva hřídele s kotoučovými noži. Nože jsou nastaveny podle jednoho požadovaného rozměru formátu budoucího přířezu. Za noži je druhá dvojice podávacích válečků, která vyhodí rozřezané přířezy na odkládací stůl. Obsluha nařeže podélne 20 - 30 archů, které na sebe pečejí na odkládací stůl. Potom nařesané pruhy lepenky přenesou na paletu a do kovové bedny odhaže odpad, který vznikne odřezáním okrajů archu. Obsluha druhé řezačky paletu s pruhy lepenky odvezou k druhé řezačce (kotoučové nůžky: typ DP 130), kde je po jednom opět nakládá na nakládací stůl. Zde ale nevtlačí lepenku mezi dopravní válce rukou, ale pokládá ji před lištu, která je poháněna ozubeným hřebenem a vtlačí lepenku mezi válce. Tím je zaručena kolmost hran přířezu. Následuje příčné rozřezání pásů lepenky na druhý požadovaný rozměr formátu.

Vzniklé přířezy opět padají na odkládací stůl, odkud je obsluha přenáší na paletu a skládá je. Tato se pak odváží k deskovačce, kde dochází k dalším pracovním operacím při výrobě knižních desek.

Tento způsob výroby, i když zatím stačí pokryt požadované množství přířezů na knižní desky, je nevyhovující hlavně pro obtížnou mezioperační manipulaci s lepenkou. Proto by nově navrhovaná linka měla v první fázi odstranit tento problém.

2.3. Požadavky na dopravník

1. Schopnost manipulace s rozsáhlým rozměrovým sortimentem přířezů.
2. Dopravník musí být snadno vyrábiteLNý.
3. Má být lehce montovatelný.
4. Vyrobén má být ze snadno dostupných tuzemských materiálů.
5. Jeho údržba malá.
6. Jeho obsluha a seřizování jednoduché.

Uvedená hlediska budou brána v úvahu při konstrukci dopravníku.

3. Návrhy variant řešení

V zadání diplomové práce je uveden požadavek na zhodovení samonakladače. Po dodatečné konzultaci v národním podniku Severografia, byl tento požadavek ze zadání vypuštěn. Proto se další práce týká pouze mezioperačního propojení kotoučových nůžek.

3.1. Propojení strojů dopravníkem s mezioperačním zásobníkem

(situační skica řešení viz příloha 2)

Postup práce:

- a) Pásy lepenky po profíznutí na prvních kotoučových nůžkách vypadnou na stojící dopravník.

b) Dopravník se uvede do pohybu a pásy lepenky napadají do mezioperačního zásobníku. Toto se provádí tak dložho, až je zásobník plný.

c) Po naplnění zásobníku je stoh lepenky přesunut pod pracovní stůl druhých kotoučových nůžek.

d) Pásy lepenky se vysouvají otvorem v pracovním stole druhých nůžek a nakládací lišta jsou podávány mezi dopravní válečky nůžek.

3.1.1. Výhody tohoto řešení

Mezioperační časy jsou zkráceny na minimum.

3.1.2. Nevýhody tohoto řešení

Obtížné zajištění nakládání do druhých nůžek, vzhledem k různé tloušťce lepenky a tomu, že není zaručena rovinost archu lepenky.

3.2. Propojení strojů pomocí dvou dopravníků o různých rychlostech

(situaci řešení linky je na výkresu čís. 2.BP.

84 - 04.00)

Pořadí práce:

a) Nařezané pásy lepenky vypadnou z nůžek na stejném první dopravník.

b) Dopravníky se uvedou do pohybu. Rozdílnou rychlosť dopravníků vznikne mezi pásy lepenky mezery.

c) Do mezery zapadnou palce druhého dopravníku a jimi jsou pásy lepenky vedeny do druhých nůžek.

3.2.1. Výhody tohoto řešení

a) Jednoduchá obsluha.

b) Snadné změna parametrů při změně formátu (pomoci variátoru měni rychlosť druhého dopravníku).

c) Jednoduchá konstrukce.

3.2.2. Nevýhody tohoto řešení

Prodloužení mezioperačních časů oproti prvnímu řešení.

3.3. Porovnání způsobu řešení

Řešení s dvěma dopravníky se jeví výhodnější. Je jednodušší na obsluhu a údržbu. I přes delší mezioperacní časy s proti prvému řešení je výkon dosažený s druhým řešením, při vhodně zvolených rychlostech, postačující.

Z těchto důvodů se v dalším zabývám již pouze návrhem řešení s dvěma dopravníky o různých rychlostech.

4. Popis konstrukčního uspořádání navrženého zařízení

(situační skica navržené linky je na výkresu čís.

2.BP 84 - 04.00)

Navržené zařízení je nakresleno na výkresu sestaveném čís. O BP 84 - 01.00. Celá linka se skládá z navrženého zařízení a k němu připojených dvou řezaček. Obě tyto řezačky jsou typu DP 130 (výrobce: FOM - Lipsko - NDR), jelikož více využívají pro úpravy na nich nutné k včlenění do linky, než řezačky typu KP 138 (výrobce: FOM - Lipsko - NDR). K této úpravám více v dalším textu.

Od prvej řezačky je oddělen stůl, na který vypadávaly pásy lepenky a na jeho místo je přistaven první dopravník. Jelikož dopravník je vyšší než původní stůl, to proto, aby byl v povině řezu druhé řezačky a musí být zachován původní výškový rozdíl mezi rovinou řezu prvej řezačky a původním stolem, musí být první řezačka na zvýšených základech a to takových, aby se výškový rozdíl mezi její rovinou řezu a rovinou dopravníku rovnal rozdílu původnímu. Pásy, které vyjíždějí z řezačky dopadají na první dopravník, který stojí. Jejich poloha na pásu je určena přestavitelnou zároveňou deskou, jejíž vzdálenost od vyváděcích válečků řezačky se přestavuje podle délky pásu lepenky. Další úprava jejich polohy na pásu není potřebná, pásy padají těsně vedle sebe a rozptyl jejich polohy není velký.

První dopravník je tvořen nosnou jednotkou a hnací jednotkou. Nosná jednotka je zobrazena na výkresu čís. O BP 84 - 02.00.

Na první dopravník navazuje dopravník druhý. Dopravníky jsou přistaveny těsně k sobě a to tak, aby nedocházelo ke tření nosných pásů. Druhý dopravník se opět skládá z nosné jednotky, která je zobrazena na výkresu čís. O.BP 84 - 03.00, a hnací dopravní jednotky. Hnací dopravní jednotka pohání současně jak dráhu tvorenou dopravním pásem, tak i dráhu řetězovou.

Na tento druhý dopravník navazuje druhá řezačka. Aby bylo možné řezačku přistavit těsně k dopravníku a to tak, aby palce na řetězech řetězových drah mohly vtláčet lepenkové pásky mezi podávací válečky řezačky, je nutné demontovat od této řezačky nakládací stůl a zařízení, které pohánělo nakládací lištu. Těmito úpravami se funkce stroje nezmění.

Jelikož je z pozdějšího výpočtu zřejmé, že nejvyšší rychlosť dosažená druhým dopravníkem ($v_{max} = 0,92 \text{ m/s}$) je vyšší než dosavadní průběžná rychlosť řezaček typu DP 130 ($v = 0,25 \text{ m/s}$), je nutné tuto rychlosť druhé řezačky zvýšit na rychlosť větší než je maximální rychlosť pásu. Tuto novou průběžnou rychlosť řezačky ($v \geq 0,92 \text{ m/s}$) lze docílit změnou převodového poměru náhonu řezačky. Tento náhon je realizován pomocí řemenového převodu plochým řemnem.

Průběžnou rychlosť prve řezačky je též nutné změnit z $0,25 \text{ m/s}$ na $0,5 \text{ m/s}$, to proto, aby se zvýšila síla vyhnaní lepenku z řezačky na páš. Tuto úpravu lze provést obdobně jako u prve řezačky změnou převodového poměru náhonu.

4.1. Popis konstrukčního uspořádání prvého dopravníku

Tento první dopravník je tvořen nosnou jednotkou a hnací dopravní jednotkou, kterou tvoří elektromotorek se řetězovou převodovkou. Nosná jednotka - je zobrazena na výkresu čís. O.BP 84 - 02.00 - je tvořen z Jaklových pro-

filu. Hlavním nosním prvkem jsou dva U - profily. Na tento U - profil jsou přivařeny upevňovací elementy dalších částí dopravníku. Jsou to čtyři držáky, k nimž jsou pomocí čepů připevněny nošné nohy. Fixace nohou je provedena přivařenou rozporou z Jaklova profilu. Na nohách jsou pomocí čepů upevněny příčníky opět z Jaklova profilu, které jsou nosným a upevňovacím prvkem pro hnací jednotku. Hnací jednotku tvoří převodový elektromotor se šnekovou převodovou skříní a hnací buben. Hnací buben s průměru 140 mm je uložen v ložisech a ležiskovými držáky přichycen šrouby na nosnou desku. Na nosnou desku je upevněn šrouby v obdélníkových otvarech také elektromotor. Náhon bubnu z motoru je obstarán přes klinové řemenice (převod 1:1). Napnutí či povolení řemene je umožněno posunutím šroubů upevňujících elektromotor v obdélníkových otvarech. Nosné desky držáků ložiska a elektromotoru jsou přivařeny na příčních. Pás je veden přes vodicí válečky, které jsou otočné na kuličkových ložiscích, hřídel je pevný a pomocí zfrézovaných průřezů je zasunut do lože přivařeného na hlavním nosníku. Tyto nosné válečky jsou dva. Na konec rámů dva pomocné válečky (viz výkres čís. 2.BP 84 - 01.03). Jsou obdobně jako vodicí válečky uloženy otočně na hřídeli. Hřídel prvého válečku, na straně dopravníku, která nesousedí s druhým dopravníkem, je uchycen ve vysouvacím rameni, opět pomocí zfrézovaných ploch a je zajištěn maticemi. Vysouvací rameno slouží k vypínání pásu, což se děje pomocí dvou šroubů na konci rámů. Hřídel druhého válečku na druhé straně dopravníku je opět upevněn pomocí zfrézovaných ploch a matic v ložích, která jsou přivařena na rámách. Mezi těmito pomocnými válečky je horní větev pásu podepřena překližkou. Te proto, aby byla plocha, na kterou dopadají pásky lepenky, rovná. Překližka leží na hranozech, které jsou přivařeny na nosných U-profilech. Na těchto profilech

jsou ještě přivařeny čtyři držáky pro upevnění vedení dorazové desky. Toto vedení je přivařeno v držácích. Na něm je posuvně umístěna dorazová deska rovnoběžně s pedálnou osou dopravníku. Její fixace v libovolné poloze je zajištěna dvěma stavitelnými šrouby. Speciální hrana dorazové desky je těsně nad pásem a to tak, aby podní nemohl zajet pás lepenky, ale současně, aby nedocházelo ke tření mezi dopravním pásem a deskou. Pásy lepenky při pohybu dopravníku se netřou o dorazovou desku, protože po nárazu do ní nepatrně odskočí nazpět.

Část noané konstrukce prvého dopravníku je řešena svařováním, jiná jako rezebíratelné spoje.

4.2. Popis konstrukčního uspořádání druhého dopravníku

Druhý dopravník se opět skládá z nosné jednotky zobrazené na výkresu čís. 0.BP 84 - 03.00, a hnací dopravní jednotky.

Nosná jednotka je opět tvořena Jäklovými profiley. Upevnění noaných noh, příčníků, nosných desek a rozper je obdobně jako u prvého dopravníku. Také dva vodicí válečky a první váleček pomocný (ve směru pohybu dopravníku) jsou stejná konstrukce a uložení jako válečky na prvním dopravníku. Vzhledem k tomu, že ale hnací jednotka pohání současně s pásem dopravníku i řetězovou dráhu jsou na hlavních noaných U-profilech připevněny šrouby držáky ležisek, v nichž jsou na ložisečích uloženy hřídele řetězových kol a hřídel jednoho hnacího bubnu pásového dopravníku. Tento buben je zobrazen na výkresu čís. 2.BP 84 - 01.02. Hnací jednotka pohání hnací buben, jenž je zobrazen na výkresu čís. 2 BP 84 - 01.01, přes variátor (VUMA - KR). Z hřídele hnacího bubnu je pomocí klínových elementů (převod 1:1) převeden pohyb na hřídel se třemi řetězkami, které pohání tři stejné řetězové dráhy. Na každém řetězu jsou upevněny čtyři palce, které jsou zobrazeny na výkresu čís. 4 BP 84 - 01.04, a rosteční $t_p = 0,381$ m. Řetězový těchto

řetězových drah jsou uloženy pomocí per na hřídelích. Jejich rostečný průměr $D_r = 0,0914$ m a počet zubů $z = 18$. Osová vzdálenost řetězů a = 0,6064 m. Uložení hřídel řetězové dráhy je takové, aby palec upevněný na řetězu vyčníval 6 až 8 mm nad dopravní pás. Hnací jednotka i držák ležisek jsou uchyceny na svých nosných pláštích posuvně, aby bylo umožněno vypnutí jak řemene variátoru, tak i řetězů. Jelikož se dráha tvoří na pásovém dopravníku a řetězová dráha překrývají, musí být dopravní pás nečelistvý. Je složen ze čtyř pásov mezi nimiž jsou mezery, v kterých se pohybují řetězové dráhy. Celková šíře těchto pásov je s mezerami je 1,2 m.

Borní větev pásu je opět podepřena překližkou, která je upevněna na hlavním nosníku stejně jako u prvého dopravníku. Jsou v ní ale výřezy v místech řetězových dráh. Na konci linky, kde jsou již pásy lepenky dopravovány pouze palci, je lepenka posouvána po dalším dílu překližky opět s výřezem pro řetězové dráhy.

Na držácích ležisek hřídel řetězových kol je pomocí šroubů připevněn rám, na kterém je pod jednou ze zadních větví řetězových dráh připevněna lišta pro pohyblivé upevnění mikrospinadla. K funkci tohoto mikrospinadla více v dalším textu.

Část nosné konstrukce druhého dopravníku je opět řešena svařováním, jiná jako rozbebatelné spoje.

5. Funkce linky

Obalující nakládá archy lepenky do první řezačky podél lišty, která má svoji stále neměnnou polohu na nakládacím stole řezačky. Tím je zaručeno, že vzdálenost rozřezaného archu ležícího na prvním stojacím dopravníku, je od konce prvého dopravníku resp. začátku druhého dopravníku stejná. Druhý dopravník se dá do pohybu, jeho rychlosť je větší než rychlosť prvého doprav-

níku. Tato rychlosť musí být tak veliká, aby mezi dva palce řetězového dopravníku padl vždy jeden pás lepenky. Proto při určení rychlosti druhého dopravníku vycházíme ze vztahu:

$$v_{II} = \frac{t_p \cdot v_I}{x} \quad [\text{m/s}] \quad (5.1.)$$

kde značí:

t_p - rozteč palců [m]

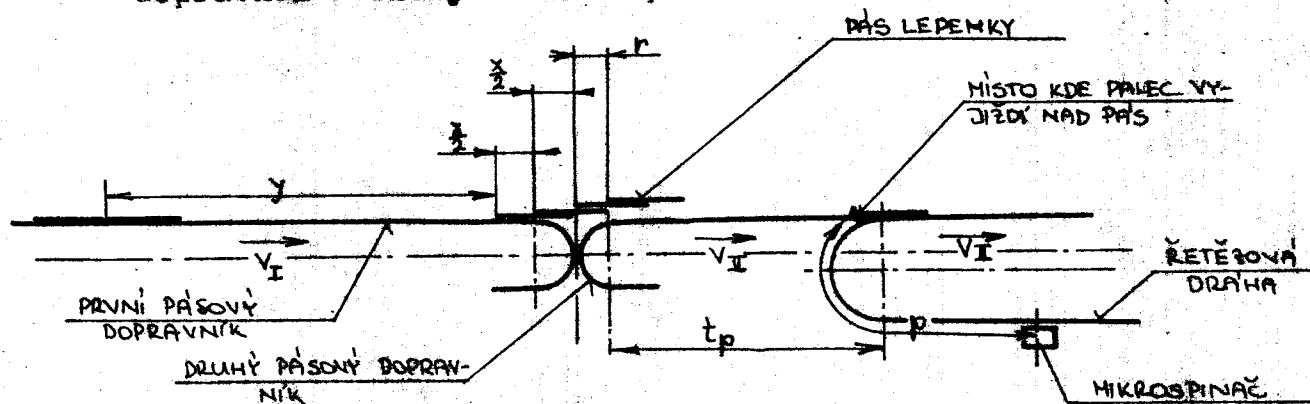
v_I - rychlosť prvého dopravníku [m/s]

v_{II} - rychlosť druhého dopravníku [m/s]

x - šířka pásu lepenky [m]

Pásová i řetězová dráha druhého dopravníku se pohybují stejnou rychlosťí (v_{II}), což je dáno stejným průměrem hnacího buben a roztečným průměrem řetězů. Prvý dopravník je spuštěn až když palec stiskne mikrospinač, který je v určité poloze, jenž zaručuje, že palce řetězových dráh napadnou do mezí vzniklých mezi pásy lepenky při přechodu z jednoho dopravníku na druhý.

Polohu mikrospinače určíme ze závislosti dráhy uražené pásem lepenky, před tím než celý pás najede na druhý dopravník a dráhy uražené palcem.



$$t_1 = \frac{Y}{v_I} + \frac{X}{2v_I} + \frac{X}{2v_{II}} + \frac{r}{v_{II}} \quad [\text{s}] \quad (5.2.)$$

kde značí:

r - poloměr zaoblení pásu [m] - lepenka jede rychlosťí v_{II} [m/s]

t_1 - čas za který se celý pás lepenky dostane na druhý dopravník [s]

v_I - rychlosť prvého dopravníku [m/s]

v_{II} - rychlosť druhého dopravníku [m/s]

x - šíře pásu lepenky [m]

y - vzdálosť pásu lepenky po dopaču na pás od stykové řeziny dopravníku. Tato vzdálosť, kterou volím 0,23 m, bude zajištěna polohou dorazové lišty na nakládacím stole prvé řezačky.

Určení polohy mikrespináče:

$$p = v_{II} \cdot t_2 \quad [\text{m/s}] \quad t_2 = t_1 \quad (5.3.)$$

kde značí:

p - poloha mikrespináče [m]

$t_2 = t_1$ [m/s]

v_{II} - rychlosť druhého dopravníku (pásu i řetězu) [m/s]

Mikrespináč je připevněn na vodící liště, takže jeho poloha se dá se změnou šíře pásu lepenky měnit. Jeho poloha na této liště je zajištěna šrouby.

Protože se dráha tvořená pásem a dráha řetězová částečně překrývají, je pás lepenky zpočátku umístěn dopravním pásem. Jakmile opustí dopravní pás je dále tláčen palci po překližce. Zadní hranu pásu lepenky se srovná opřením o palce (dorazy palců jsou přestavitelné pomocí šroubů), čímž je zaručena kolmost řetu ve druhé řezačce. Palce vtlačí lepenku mezi podávací válečky druhé řezačky, ta ji profázne a vyhodí na odkládací stůl.

5.1. Odstranění odpadu

Při prvním profáznutí archu na prvé řezačce dojde k odříznutí dvou úzkých pásků lepenky po stranách archu. Tyto pásky, které jsou odpadem, se nezmění dostat na dopravník. K jejich odstranění se používá dvou navzájem lišt, které jsou na řezačce mezi nožovými hřídeli a vývadecími válečky. Dvě krajní lišty se vynoří směrem pod dopravník. Tím je docíleno, že pásky odpadu, které na ně narazí, budou odváděny do prostoru pod dopravník do odpadové bedny. Lišty jsou umístěny pozavně na tyči, aby bylo

můžno měnit jejich polohu při změně rozměru archu.

Odpad, který vznikne při druhém řezu na druhé řezačce není třeba odstraňovat.

6. Konstrukční řešení

6.1. Volba pásu

Vzhledem k tomu, že největší délka archu lepenky je 1,18 m volím šířku dopravního pásu 1,2 m. Z hlediska návaznosti dopravníků musí být poloměr ohybu pásu přes válečky co nejmenší. Nároky na pevnost pásu vzhledem k malé hmotnosti dopravovaného zboží nejsou velké. Pás prvého dopravníku musí být celistvý, aby nedocházelo k zahraňování pásu lepenky o hrany jednotlivých dílů pásu při dopadu lepenky z první řezačky na pás. Z de- stupného sortimentu dopravních pásů nesplňuje žádny tyto požadavky. Proto jsem se po konzultaci na katedře textilních materiálů VŠST Liberec rozhodl pro pás vyrobeny z textilních tkanin, např. válečkové sukno, válečkové sukno jemné, podložkové sukno atd. Tyto materiály odpovídají pevnostně a vyrábějí se v požadovaném rozměrovém sortimentu.

Rozměry pásů:

a) dopravní pás prvého dopravníku

šíře: 1,2 m

délka: 3,8 m

b) dopravní pásy druhého dopravníku

pás druhého dopravníku je dělený a tvorí ho čtyři pruhy o rozměrech:

	<u>šíře</u>	<u>délka</u>
1. pruh	0,132 m	2,23 m
2. pruh	0,415 m	2,23 m
3. pruh	0,365 m	2,23 m
4. pruh	0,182 m	2,23 m

6.2. Výpočet výkonu elektromotoru

Jelikož je patrné, že k pohonu prvního dopravníku je potřebný menší výkon, než k pohonu druhého dopravníku, počítám pouze potřebný výkon elektromotoru druhého dopravníku.

Tento dopravník se skládá ze dvou částí:

- a) část pásového dopravníku,
- b) část řetězového dopravníku,

Jenž jsou poháněné společnou hnací jednotkou.

6.2.1. Výpočet potřebného výkonu k pohonu pásu

Zatížení pásu od dopravovaného materiálu:

váha jednoho archu lepenky je asi $q = 2 \text{ kg}$
vodorovný průměr délky pásu: $L_v = 0,99 \text{ m}$

Celkový odpor proti pohybu pásu:

Způsob výpočtu podle ČSN 26 3102

$$F = \sum F_n [\text{N}] \quad (6.1.)$$

kde $n = 1$ až 7 , přitom značí:

F_1 - odpor válečků

F_2 - odpor tření čepu bubnu

F_3 - odpor shazovače

F_4 - odpor tření bočního ochranného vedení

F_5 - odpor čističů

F_6 - sílu pro urychlení materiálu na pásu a odpor tření v násypce

F_7 - sílu k zvedání materiálu do výšky při pásach pracujících ve sklonu.

Velikost jednotlivých odporů

F_1 - odpor válečků

$$F_1 = \mu \cdot (L_v \cdot q_1 + 2 L_v \cdot q_2 + \pi q_3) \cdot g [\text{N}] \quad (6.2.)$$

kde značí:

- koeficient valivého odporu v ložisech válečků
(při valivém uložení $\mu = 0,04$ až $0,06$)

- q_1 - váhu dopravovaného materiálu připadajícího
 na 1 m délky pásu ($q_1 = 2,02 \text{ kg/m}$)
 q_2 - váhu běžného metru pásu ($q_2 = 0,5 \text{ kg/m}$)
 q_3 - váhu rotujících částí jednoho válečku
 L_v - vodorovný průměr dopravní délky ($L_v = 0,99 \text{ m}$)
 Z - počet válečků ($Z = 4$)

Dálší výpočet:

$$q_3 = \frac{\pi}{4} (D^2 - d^2) \cdot L_v \cdot \gamma = \frac{\pi}{4} (0,03^2 - 0,022^2) \cdot \\ \cdot 1,21 \cdot 7800 = \underline{3,09 \text{ kg}}$$

Dosazením do (6.2.) dostaneme:

$$F_1 = 0,05 \cdot (0,99 \cdot 2,02 + 2 \cdot 0,99 \cdot 0,5 + 4 \cdot \\ \cdot 3,09) \cdot 9,81 = \underline{7,6 \text{ N}}$$

F_2 - třesí odpór čepu bubnu

$$\text{Pro valivé uložení } F_2 = 0,007 \cdot Z \cdot g [\text{N}] \quad (6.3.)$$

Pro Z uvádí norma složitý výraz. Jelikož je F_2 vzhledem k F_1 velmi malá, často zanedbatelná, lze ji volit.

$$\text{Volím } F_2 = \underline{2 \text{ N}}$$

Odpory F_3, F_4, F_5, F_6, F_7 se u dopravníku nevyskytují.

Celkový odpor F - dosazením do (6.1.)

$$F = F_1 + F_2 = 7,6 + 2 = \underline{9,6 \text{ N}}$$

Z taktéž vypočítaného celkového odporu určíme výkon na hřídeli hnacího bubnu potřebný k pohonu pásu.

$$P_h = F \cdot v [\text{W}] \quad (6.4.)$$

v - největší obvodová rychlosť bubnu ($v = 0,92 \text{ m/s}$)

$$P_h = 9,6 \cdot 0,92 = \underline{8,84 \text{ W}}$$

6.2.2. Výpočet výkonu potřebného k pohonu řetězového dopravníku

Vzhledem k tomu, že síla potřebná k vtlačení lepenky palci mezi podávací válečky druhé řezačky je malá, volím sílu řetězu (síla na vtlačení + odpor):

$$F = \underline{30} \text{ N}$$

Dosazením do (6.4.) určíme potřebný výkon na hřídeli hnacího bubnu k pohonu řetězového dopravníku.

$$P_h' = F \cdot v = 30 \cdot 0,92 = \underline{27,6} \text{ W}$$

Výkon hnacího elektromotoru

$$P = k \cdot \left(\frac{P_h'}{\gamma_1} + \frac{P_h'}{\gamma_1 \cdot \gamma_2} \right) [\text{W}] \quad (6.5.)$$

kde značí:

k - součinitel bezpečnosti ($k = 1,1 - 1,5$)

γ_1 - účinnost prvého převodu ($\gamma_1 = 0,9 - 0,96$)

γ_2 - účinnost druhého převodu ($\gamma_2 = 0,9 - 0,96$)

Dosazením do (6.5.) dostaneme:

$$P = 1,4 \left(\frac{8,84}{0,93} + \frac{27,6}{0,93 \cdot 0,93} \right) \approx \underline{58} \text{ W}$$

Pro pohon druhého dopravníku velím převodový elektromotorek se šnekovou převodovkou řady TS - 03 04 44. Výstupní otáčky téhoto elektromotoru jsou $n = 1,64 \text{ ot/s}$.

Pro pohon prvého dopravníku volím takéž převodový elektromotorek se šnekovou převodovkou řady TS - 03 04 44. Výstupní otáčky téhoto elektromotoru jsou $n = 0,575 \text{ ot/s}$.

6.3. Výpočet rychlostí dopravníků

Prvý dopravník se pohybuje konstantní rychlostí. Náhon bubnu z elektromotoru je obstarán přes klinové řemenice (převod 1:1). Rychlosť téhoto dopravníku určíme ze vztahu:

$$v_I = \pi D_b n \quad [\text{m/s}] \quad (6.6.)$$

kde značí:

D_b - průměr bubnu ($D_b = 0,14 \text{ m}$)

n - otáčky bubnu ($n = 0,575 \text{ ot/s}$)

v_I - rychlosť prvého dopravníku

Dosazením do (6.6.) dostaneme:

$$v_I = \pi \cdot 0,14 \cdot 0,57 = 0,25 \text{ m/s}$$

Rychlosť druhého dopravníku je závislá na rozměrech zpracovávaného pásu lepenky. Její velikost určíme ze vztahu (5.1.):

$$v_{II} = \frac{t_p \cdot v_I}{x} [\text{m/s}]$$

do kterého dosadíme:

$$t_p = 0,381 \text{ m}$$

$$v_I = 0,25 \text{ m/s}$$

x = jednotlivým šířkám pásu lepenky [m]

Rychlosti druhého dopravníku a otáčky hnacího bubnu, příslušející jednotlivým rozměrům celkového sortimentu zpracovávaných přízezů lepenky jsou uvedeny v tabulce čís. 1.

Tenuto požadovaném rozsahu změny rychlosti vyhovuje řemenový variátor typu VEMA - KR s řemenicemi KR 1 - 1 a KR 2 - 1. Variátor musí být blokován pro oblast otáček bubnu nižších než 0,95 ot/s, aby nedošlo k přetížení navržených součástí vlivem zvýšeného namáhání.

Výrobce variátoru: STS Nové Město nad Váhem.

TABULKA OTÁČEK HNACÍCH BUENO A RYCHLOSTÍ DOPRAVNÍKA

TAB. Č. 1

FORMAT [mm]	OTÁČEK HNACÍHO BUENO 1 [st/s]	RYCHLOSŤ DOP. 1 [m/s]	OTÁČEK HNACÍHO BUENO 2 [st/s]	RYCHLOSŤ DOP. 2 [m/s]
A6	105	0,57	0,25	3,2
	148			0,92
B16	120		2,3	0,65
	160			2,8
B6	125		2,1	0,8
	176			0,6
R8	130		2,7	0,77
	210			1,9
A5	148		2,6	0,55
	210			1,6
M8	160		2,3	0,74
	240			1,6
B5	176		1,6	0,46
	250			2,1
A4	210		1,4	0,6
	297			1,9
B4	250		1,3	0,4
	353			0,55
				1,3
				0,39
				1,6
				1,1
				0,32
				1,3
				0,95
				0,27

6.4. Návrh a kontrola klínových řemenů

6.4.1. Klínový řemen pro řemenice

Kontrolu provádíme pro klínový řemen druhého deopravníku.

Maximální kroutící moment na hřídeli:

$$M_k = \frac{P}{2\pi n} = \frac{58}{2\pi \cdot 0,95} = 9,7 \text{ N m}$$

Velik řemen 13 x 900 ČSN 02 3120

Minimální výpočtový průměr řemenice $D_p = 0,116 \text{ m}$.

Obvodová rychlosť řemene:

$$v = \pi \cdot D_p \cdot n = \pi \cdot 0,116 \cdot 0,95 = 0,34 \text{ m/s}$$

Přenášený výkon

(tabulkové údaje pro kontrolu řemene jsou udávány v TS jednotkách, proto používám k dalšiemu výpočtu tyto jednotky).

$$P = P_{kw} \cdot 1,36 = 0,058 \cdot 1,36 = 0,0789 \text{ kW}$$

Úhel opásání je $\lambda = 180^\circ$

Poznámka:

Tabulkové údaje pro kontrolu výkonu P_{180} přenáše-
ného jedním řemensem při úhlbu opásání $\lambda = 180^\circ$ jsou uvá-
děny až od obvodové rychlosti $v = 2 \text{ m/s}$. Do obvodové
rychlosti $v = 4 \text{ m/s}$ je přírůstek přenášeného výkonu
lineární. Teprve od 4 m/s klesá vlivem odstředivé sily.
Protože nejmenší obvodová rychlosť navrhovaného řemene
je daleko pod hranicí 2 m/s ($v = 0,34 \text{ m/s}$), využil jsem
lineární závislosti ke grafické kontrole vhodnosti po-
užití navrhovaného řemene. Grafické řešení je znázorně-
no v příloze čís. 3 a 4. Z grafů je zřejmé, že řemen
13 vyhovuje pro přenášený výkon.

6.4.2. Pevnostní kontrola řemene

Přenášený kroutící moment - $M_k = 97 \text{ kpm}$

Průměr řemenice $D_p = 116 \text{ mm}$

Síla přenášená řemenem:

$$F_p = \frac{M_k}{r_p} = \frac{97}{5,8} = 17,07 \text{ kp}$$

Navržený řemen musí tedy přenášet sílu
 $P \geq F_p$ (6.6.)

Kontrolu provedeme z tabulkových hodnot přenáše-
ného výkonu P_{180} při obvodové rychlosti $v = 2 \text{ m/s}$.

Dovolenou sílu v řemenu zjistíme ze vztahu:

$$P = \frac{F \cdot v}{75} [\text{k}] \quad (6.7.)$$

Řemen 13: při $v = 2 \text{ m/s}$ přenesne výkon $P_{180} = 0,49 \text{ k}$.

$$\text{Ze vztahu (6.7.): } P = \frac{P \cdot 75}{v} = \frac{0,49 \cdot 75}{2} = 18,4 \text{ kp}$$

Je zřejmé, že je splněna podmínka (6.6.).

Řemen řemenového převodu prvého dopravníku bude
méně namáhan, proto volím pro tento převod řemen 13x 800
ČSN 02 3110.

Osevá vzdálenost řemenic:

a) pro řemen 13 x 800 prvého dopravníku

$$\text{Průměr řemenice } D_p = 0,116 \text{ m}$$

$$\text{Obvod řemenice: } O = \pi \cdot D_p = \pi \cdot 0,116 = 0,364 \text{ m}$$

$$a = \frac{L_k - 0}{2} = \frac{0,8 - 0,364}{2} = 0,2178 \text{ m}$$

b) pro řemen 13 x 900 druhého dopravníku

$$\text{Průměr řemenice } D_p = 0,116 \text{ m}$$

$$\text{Obvod řemenice } O = 0,364 \text{ m}$$

$$a = \frac{L_k - 0}{2} = \frac{0,9 - 0,364}{2} = 0,2678 \text{ m}$$

6.4.3. Klinový řemen pro variátor

Variátoru VUMA - KR, který se skládá z řemenic KR 1-1
a KR 2-1, přiřazuje norma řemen W 20, přičemž uvedené číslo
znamená výpočtovou horní šířku klinového profilu řemene.

Výpočtovou střední délku řemeně volím 710 mm.

Osová vzdálenost řemenic - variátor:

Střední obvod řemenice: $O_{st} = \pi \cdot D_{st} = \pi \cdot 0,092$
 $= 0,289 \text{ m}$

$$a = \frac{L_p - O_{st}}{2} = \frac{0,710 - 0,289}{2} = 0,210 \text{ m}$$

6.5. Pevnostní výpočet bubnu

Pevnostní výpočet a kontrolu provádím pro hmotu buben druhého debravníku, jehož namáhání je nejnepřísnější.

Uspořádání řemenic a bubnu je zřejmé z výkresu sestavení. Konstrukční uspořádání bubnu znázorňuje výkres číslo 2.BP 84 - 01.01.

6.5.1. Zatížení od klinové řemenice

1. od váhy řemenice - materiál hliník

$$G = \frac{\pi}{4} (D^2 - d^2) L_p \cdot \gamma [N] \quad (6.8.)$$

kde značí:

D_p - střední průměr řemenice ($D_p = 0,116 \text{ m}$)

d - průměr hřidele ($d = 0,016 \text{ m}$)

L_p - délka řemenice ($L_p = 0,021 \text{ m}$)

γ - měrná váha hliníku ($\gamma = 2700 \text{ kg/m}^3$)

desazením do (6.8.) dostaneme:

$$G = \frac{\pi}{4} (0,116^2 - 0,016^2) \cdot 0,021 \cdot 2700 = 0,59 \text{ kg}$$

Síla od hmoty řemenice

$$F_G = G \cdot 9,81 = 0,59 \cdot 9,81 = 5,78 \text{ N}$$

2. Zatížení od tahu v řemenech

$$M_k = 9,7 \text{ N m}$$

Obvodová síla: $F = 170,7 \text{ N}$

Obvodová rychlosť řemene: $v = 0,34 \text{ m/s}$

Koefficient tření pro klínový řemen:

$$f_k = 3,4 \cdot f \quad (6.9.)$$

kde značí:

$$f = f_0 + 0,012 \cdot v \quad (6.10.)$$

kde pro pryz $f_0 = 0,35$

desazením do (6.10.) dostaneme:

$$f = 0,35 + 0,012 \cdot 0,34 = 0,354$$

desazením do (6.9.) dostaneme:

$$f_k = 3,4 \cdot 0,354 = 1,204$$

Úhly upásání řemene:

Převod řemene 1:1 $\Rightarrow \alpha_1 = \alpha_2 = 180^\circ = \alpha$

$$\lambda = \frac{\pi \cdot \alpha}{180} = \frac{\pi \cdot 180}{180} = 3,14 \text{ rad}$$

Velikost tahů ve větvích řemene:

Výpočet podle vztahů:

$$m = e^{\lambda \cdot R} \quad (6.11.)$$

$$F = S_1 = S_2 \quad (6.12.)$$

$$S_1 = F \cdot \frac{m}{m - 1} \quad (6.13.)$$

desazením do (6.11.) dostaneme:

$$m = e^{3,14 \cdot 1,204} = 43,92$$

desazením do (6.13.) dostaneme:

$$S_1 = 170,7 \cdot \frac{43,92}{42,92} = 174,7 \text{ N}$$

desazením do (6.12.) dostaneme:

$$S_2 = S_1 - F = 174,7 - 170,7 = 4 \text{ N}$$

Výslednice tahů:

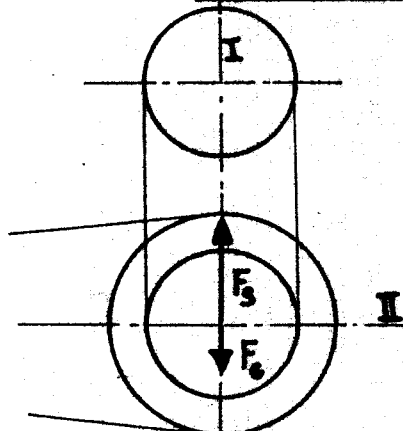
$$F_s = S_1 + S_2 \quad (6.14.)$$

dosažením do (6.14.) dostaneme:

$$F_s = 174,7 + 4 = \underline{178,7 \text{ N}}$$

Výsledná síla F_s je síla, která namáhá hřídele na chyb a způsobuje ztráty třením v ložiscích.

Výsledné zatížení hřídele od klínové řemenice



$$F_s = 178,7 \text{ N}$$

$$F_g = 5,78 \text{ N}$$

$$F_l = F_s - F_g = 178,7 - 5,78 = \underline{172,9 \text{ N}}$$

6.5.2. Zatížení od řemenice variátoru

1. od váhy řemenice

Váha řemenice KR 1 - 1 : $G = \underline{3 \text{ kg}}$

Síla od hmoty řemenice: $F_g = 3 \cdot 9,81 = \underline{29,4 \text{ N}}$

2. zatížení od tahu v řemenech

$$M_k = 9,7 \text{ N m}$$

Stáčkám řemenice variátoru KR 1 - 1 $n = 0,95 \text{ ct/a}$
odpovídá průměr řemenice $D = 0,121 \text{ m}$

Obvodová rychlosť řemene: $v = \Pi \cdot D \cdot n = \Pi \cdot 0,121 \cdot 0,95 = \underline{0,362 \text{ m/s}}$

Obvodová síla: $F = \frac{M_k}{R} = \frac{9,7}{0,635} = \underline{160,4 \text{ N}}$

Koeficient tření pro klínový řemen:

další postup výpočtu je stejný jako u předešlého výpočtu klínového řemene.

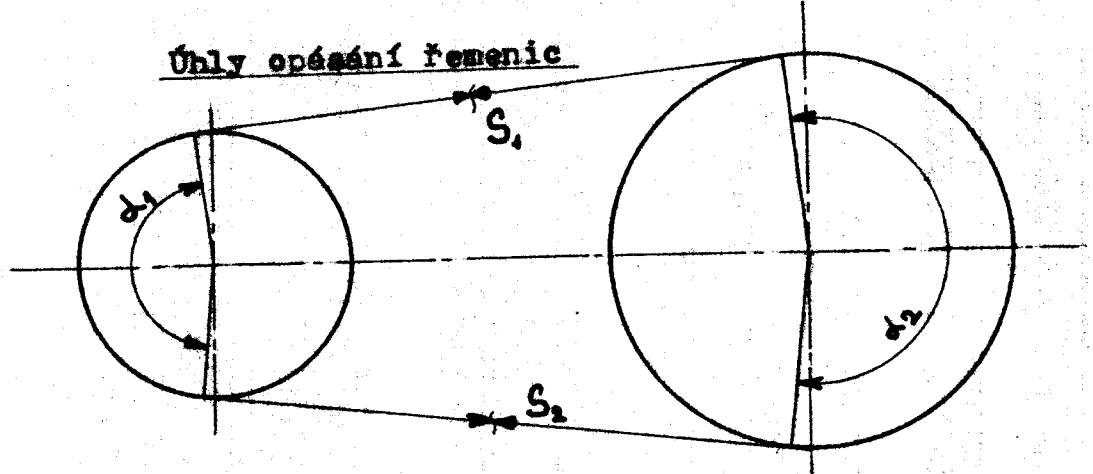
dosazením do (6.10.) dostaneme:

$$f = 0,35 + 0,012 \cdot 0,362 = \underline{0,354}$$

dosazením do (6.9.) dostaneme:

$$f_k = 3,4 \cdot 0,354 = \underline{1,204}$$

Úhy opásání řemenic



Osevá vzdálenost $a = 0,21 \text{ m}$

Průměr řemenic $D_1 = 0,07 \text{ mm}; D_2 = 0,121 \text{ mm}$

$$\alpha_1 = 166^\circ; \alpha_2 = 194^\circ$$

$$\alpha = \frac{\alpha_1 \cdot \pi}{180} = \frac{166 \cdot \pi}{180} = \underline{2,89 \text{ rad}}$$

Velikost tahů ve větvích :

dosazením do (6.11.) dostaneme:

$$n = e^{2,89} : 1,204 = \underline{32,44}$$

dosazením do (6.13.) dostaneme:

$$S_1 = 160,4 \cdot \frac{32,44}{31,44} = \underline{165,5 \text{ N}}$$

dosazením do (6.12.) dostaneme:

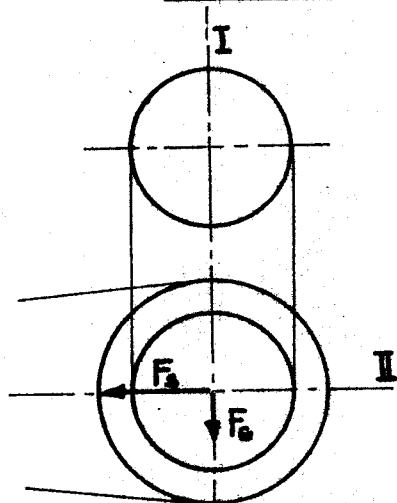
$$S_2 = 165,5 - 160,4 = \underline{5,1 \text{ N}}$$

Výslednice tahů

dosazením do (6.14.) dostaneme:

$$F_s = 165,5 + 5,1 = \underline{170,6 \text{ N}}$$

Výsledně zatížení hřídele od řemenice variátoru



$$F_S = 170,6 \text{ N}$$

$$F_G = 29,4 \text{ N}$$

$$F_2 = F_S^2 + F_G^2 =$$

$$\approx 170,6^2 + 29,4^2 = 173,1 \text{ N}$$

Vzhledem ke geometrickému součtu zatížení uvažují zatížení pouze v rovině II od síly F_S .

6.5.3. Zatížení bubnu

Beru v úvahu vliv nejméně příznivého stupně náhonu, t.j. při otáčkách $n = 0,95 \text{ m/s}$.

Maximální kroutící moment: $M_k = 9,7 \text{ N m}$

Otačky bubnu: $n = 0,95 \text{ m/s}$

Průměr bubnu: $D = 0,0914 \text{ m}$

Šíře pásu: $l = 1,2 \text{ m}$

Obvodová rychlosť: $v = \pi D n = \pi \cdot 0,0914 \cdot$

$$\cdot 0,95 = 0,27 \text{ m/s}$$

$$= 180^\circ = 3,14 \text{ rad}$$

Obvodová síla:

$$F = \frac{M_k}{R} = \frac{9,7}{0,0457} =$$

$$= 212,3 \text{ N}$$

Součinitel tření - podle (6.10.):

$$f = f_0 + 0,012 \cdot v$$

f_0 - pro textilní pás $f_0 = 0,25$

$$f = 0,25 + 0,012 \cdot 0,27 = 0,253$$

Další postup výpočtu je obdobný jako u předešlého výpočtu klinového řemene.

Dosazením do (6.11.) dostaneme:

$$m = e^{3,14} \cdot 0,253 = \underline{\underline{2,213}}$$

dosazením do (6.13.) dostaneme:

$$S_1 = 212,3 \cdot \frac{2,213}{1,213} = \underline{\underline{387,32 \text{ N}}}$$

dosazením do (6.12.) dostaneme:

$$S_2 = 387,32 - 212,3 = \underline{\underline{175,02 \text{ N}}}$$

Výslednice tahu

dosazením do (6.14.) dostaneme:

$$F_g = 387,32 + 175,02 = \underline{\underline{562,34 \text{ N}}}$$

Spojité obtížení bubnu:

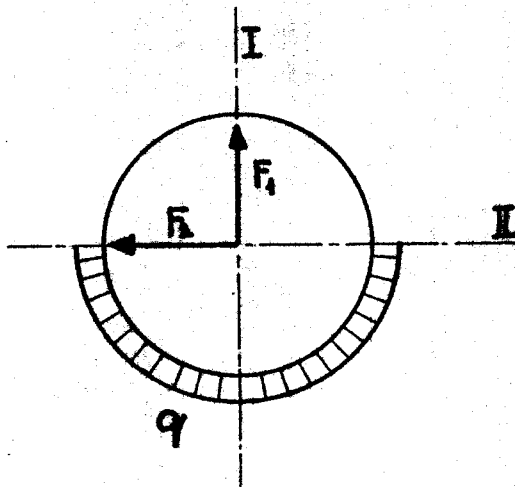
$$q = \frac{F}{L} = \frac{562,34}{1,2} = \underline{\underline{468,6 \text{ N/m}}}$$

6.5.4. Reakce v uložení a chybové momenty

Poznámka:

Vzhledem ke svaření bubnu s čepy, lze uvažovat buben jako jednolitý tuhý celek s proměnným modulem průřezu.

Schema zatížení bubna



F_1 - síla působící na čep bubnu v rovině I

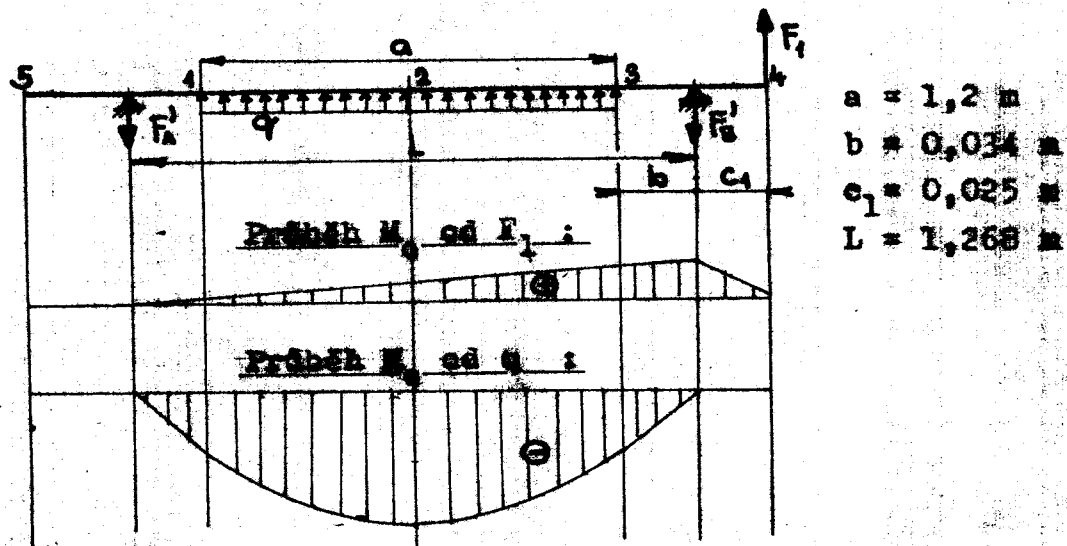
F_2 - síla působící na čep bubnu v rovině II

q - spojité obtížení působící na čep bubnu v rovině II

1. Zatížení v rovině I

Zatěžujícími silami je spojité zatížení
 $q = 468,6 \text{ N/m}$ a síla $F_1 = 172,9 \text{ N}$.

Schema zatížení a průběh ohybových momentů



Bed 1 a 3 - přechod bubnu do čepu

Bed 2 - střed bubnu

Bed 4 a 5 - působiště síly od řemenice

Výpočet reakcí:

$$F_A' = \frac{q \cdot a^2 - F_1 \cdot c_1}{L} = \frac{468,6 \cdot 1,2^2 - 172,9 \cdot 0,025}{1,268} = 277,8 \text{ N}$$

$$\begin{aligned} F_B' &= q \cdot a + F_1 - F_A' = 468,6 \cdot 1,2 + 172,9 - 277,8 = \\ &= 463,4 \text{ N} \end{aligned}$$

Velikost ohybových momentů:

$$\begin{aligned} M_{\max}' &= M_{e2}' = F_A' \cdot \frac{L}{2} - q \cdot \frac{a^2}{8} = 277,8 \cdot 0,634 - \\ &- 468,6 \cdot 0,18 = 91,8 \text{ Nm} \end{aligned}$$

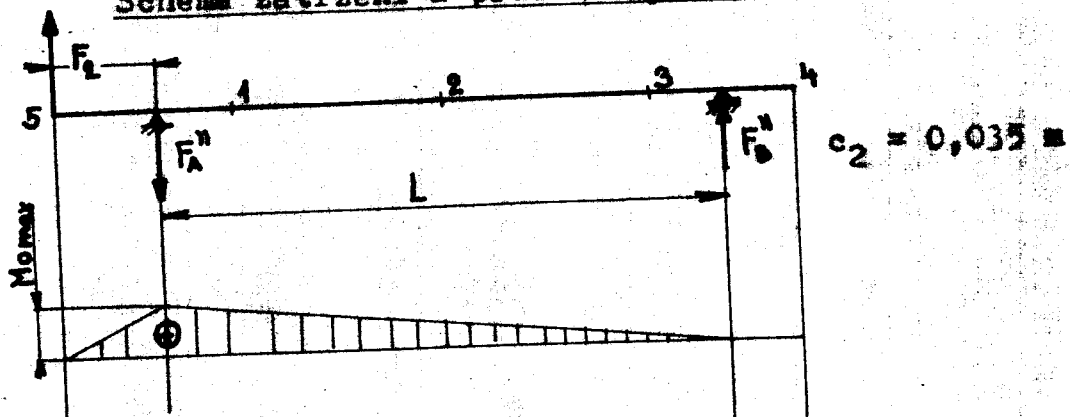
$$M_{e1}' = F_A' \cdot b = 277,8 \cdot 0,034 = 9,5 \text{ Nm}$$

$$M_{03} = F_B' \cdot b - F_1 (b+c) = 457,4 \cdot 0,034 - 0,059 \cdot \\ \cdot 172,9 = \underline{\underline{5,4 \text{ Nm}}}$$

2. Zatížení v rovině II

Zatížující silou je síla $F_2 = 173,1 \text{ N}$

Schema zatížení a průběh ohybového momentu



Vzdálenosti bodů a působistí sil jsou vyznačeny na obrázku při zatížení v rovině I.

Výpočet reakcí:

$$F_A'' = \frac{F_2 \cdot (L + c_2)}{L} = \frac{173,1 \cdot 1,303}{1,268} = \underline{\underline{177,9 \text{ N}}}$$

$$F_B'' = \frac{F_2 \cdot c_2}{L} = \frac{173,1 \cdot 0,035}{1,268} = \underline{\underline{4,8 \text{ N}}}$$

Velikost ohybových momentů:

$$M_{max}'' = M_{OA}'' = F_2 \cdot c_2 = 173,1 \cdot 0,035 = \underline{\underline{6,06 \text{ Nm}}}$$

$$M_{01}'' = F_2 \cdot (b + c_2) - F_A'' \cdot b = 173,1 \cdot 0,069 - \\ - 177,9 \cdot 0,034 = \underline{\underline{5,9 \text{ Nm}}}$$

$$M_{e2}'' = F_2 \left(\frac{L}{2} + c_2 \right) - F_A' \cdot \frac{L}{2} = 173,1 \cdot 0,669 - \\ - 177,9 \cdot 0,634 = \underline{\underline{3,02 \text{ N m}}}$$

$$M_{e3}'' = F_2 (L - b + c_2) - F_A' \cdot (L - b) = 173,1 \cdot \\ \cdot 1,269 - 177,9 \cdot 1,234 = \underline{\underline{0,14 \text{ N m}}}$$

Výsledné ohýbové momenty:

$$\text{v bodě 1: } M_{el} = \sqrt{M_{e1}'^2 + M_{e1}''^2} = \sqrt{9,5^2 + 5,9^2} = \\ = \underline{\underline{11,8 \text{ Nm}}}$$

$$\text{v bodě 2: } M_{e2} = \sqrt{M_{e2}'^2 + M_{e2}''^2} = \sqrt{91,8^2 + 3,02^2} = \\ = \underline{\underline{91,85 \text{ Nm}}}$$

$$\text{v bodě 3: } M_{e3} = \sqrt{M_{e3}'^2 + M_{e3}''^2} = \sqrt{5,4^2 + 0,14^2} = \\ = \underline{\underline{5,4 \text{ Nm}}}$$

M_{e1} je větší než M_{e3} - v dalším výpočtu už použijeme M_{e1} .

Výsledné reakce:

$$F_A = \sqrt{F_A'^2 + F_A''^2} = \sqrt{277,8^2 + 177,9^2} = \underline{\underline{329,9 \text{ kN}}}$$

$$F_B = \sqrt{F_B'^2 + F_B''^2} = \sqrt{457,4^2 + 4,8^2} = \underline{\underline{457,4 \text{ kN}}}$$

6.5.5. Návrh čepů

Volím materiál 11 373.1: $G_{pt} = 370 \text{ MPa}$

$T_{kt} = 220 \text{ MPa}$

$T_{dev\ k} = 70 \text{ MPa}$

$G_{dev\ o} = 120 \text{ MPa}$

1. Z přenášeného Mk

$$M_k = 9,7 \text{ N m}$$

$$W_k = \frac{M_k}{G_{dev\ k}} = \frac{9,7}{70 \cdot 10^6} = 1,386 \cdot 10^{-7} \text{ m}^3$$

tomu odpovídá $d = 8,85 \cdot 10^{-3} \text{ m} \approx 10 \text{ mm}$

2. Z ohýbových momentů

$$\text{V bodě l: } M_{e1} = 11,2 \text{ N m}$$

$$W_e = \frac{M_{e1}}{G_{dev\ e}} = \frac{11,2}{120 \cdot 10^6} = 0,93 \cdot 10^{-7} \text{ m}^3$$

tomu odpovídá $d = 0,93 \cdot 10^{-2} \text{ m} \approx 10 \text{ mm}$

Z hlediska konstrukčního uspořádání bude u průměru
čepu ($d_{min} = 0,01 \text{ m}$) podle výkresu čís. 2.BP 84 -
01.01.

6.5.6. Kontrola trubky bubnu

$$\text{Veliký materiál 11 416.1: } G_{pt} = 410 \text{ MPa}$$

$$G_{dev\ e} = 140 \text{ MPa}$$

$$\text{Ohýbový moment: } M_{e\max} = M_{e2} = 91,85 \text{ N m}$$

Potřebný modul průřezu:

$$W_e = \frac{M_{e2}}{G_{dev\ e}} = \frac{91,85}{140 \cdot 10^6} = 6,6 \cdot 10^{-7} \text{ m}^3$$

Modul průřezu navržené trubky: $D = 0,0914 \text{ m}$

$$d = 0,081 \text{ m}$$

$$W_e = \frac{\pi}{32} \cdot \frac{D^4 - d^4}{D} = \frac{\pi}{32} \cdot \frac{0,0914^4 - 0,081^4}{0,0914} = \\ = 2,9 \cdot 10^{-5} \text{ m}^3$$

Trubka zcela vyhovuje.

Navržený buben podle uspořádání na výkresu číslo 2.BP 84 - 01.01. pevnostně zcela vyhovuje.

6.6. Kontrola válečku

Uspořádání podle výkresu čís. 2.BP 84 - 01.03.

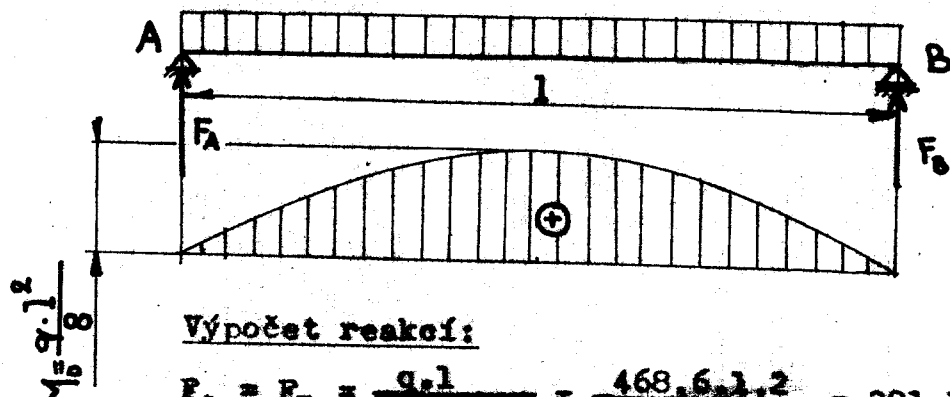
Material trubky 11 416.1.

Retující částí je trubka průměru $D = 0,03 \text{ m}$ a délky $1,21 \text{ m}$.

Váleček je zatížen spojitym obtížením $q = 468,6 \text{ N/m}$.

Schéma zatížení a průběhu ohybového momentu

$$l = 1,2 \text{ m}$$



Výpočet reakcí:

$$F_A = F_B = \frac{q \cdot l}{2} = \frac{468,6 \cdot 1,2}{2} = 281,16 \text{ N}$$

Ohybový moment:

$$M_o = \frac{q \cdot l^2}{8} = \frac{468,6 \cdot 1,2^2}{8} = 84,35 \text{ N m}$$

Potřebný modul průřezu:

$$W_o = \frac{M_o}{6 \text{ dev } \sigma} = \frac{84,35}{140 \cdot 10^6} = 6,025 \cdot 10^{-7} \text{ m}^3$$

Modul průřezu navržené trubky: $D = 0,03 \text{ m}$

$$d = 0,022 \text{ m}$$

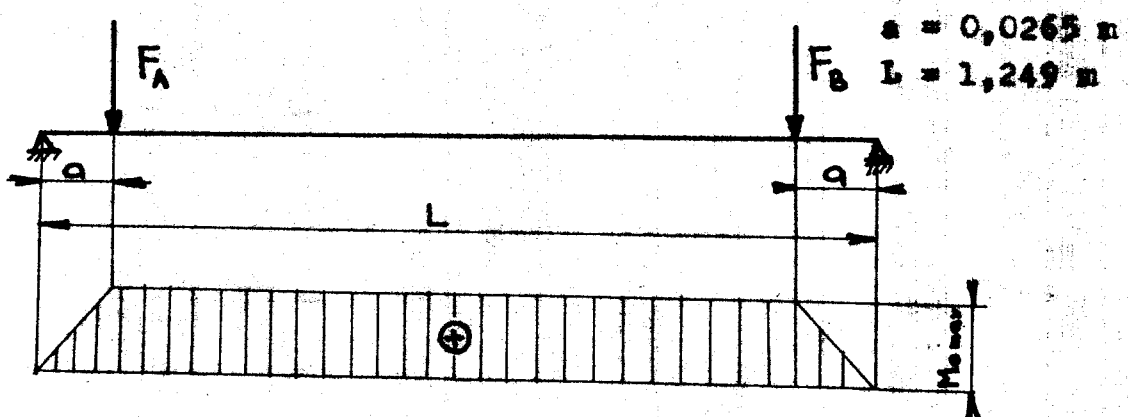
$$W_o = \frac{\pi}{32} \cdot \frac{D^4 - d^4}{D} = \frac{\pi}{32} \cdot \frac{0,03^4 - 0,022^4}{0,03} = 1,9 \cdot 10^{-6} \text{ m}^3$$

Trubka válečku zcela vyhovuje.

6.6.1. Kontrola hřídele válečku

Hřídel je zatížen staticky od reakcí $F_A = F_B = 281,16 \text{ N}$.

Schéma zatížení a průběhu ohýbového momentu



Ohybový moment:

$$M_0 = F_A \cdot a = 281,16 \cdot 0,0265 = 7,45 \text{ N m}$$

Volím materiál hřídele 14 150.6: $G_{pt} = 750 \text{ MPa}$

$$T_{kt} = 500 \text{ MPa}$$

$$G_{dev \circ} = 290 \text{ MPa}$$

Potřebný modul průřezu:

$$W_p = \frac{M_0}{G_{dev \circ}} = \frac{7,45}{290 \cdot 10^6} = 2,57 \cdot 10^{-8} \text{ m}^3$$

tому odpovídá $d = 6,36 \cdot 10^{-3} \text{ m} \approx 6,36 \text{ mm}$

Konstrukční uspořádání podle výkresu čís. 2 BP 84 - 01.03. pevnostně vyhovuje.

6.7. Kontrola ložisek

Vzhledem k tomu, že tabulkové údaje i konstanty ve vzorech pro výpočet ložisek jsou uváděny pro jednotky

TS soustavy, používám k tomuto výpočtu jednotek TS.

1. Ložiska bubnů a hřídelů s řetězovými koly

Jako maximální zatěžující sílu beru sílu $F = F_B = 457,4 \text{ N} = 46,7 \text{ kp}$.

Zatížení je pouze radiální.

Ekvivalentní zatížení ložiska

$$F = X \cdot V \cdot F_r + Y \cdot F_a \quad [\text{kp}] \quad (6.15.)$$

kde značí:

F - ekvivalentní zatížení ložiska [kp]

F_a - axiální zatížení ložiska ($F_a = 0 \text{ kp}$)

F_r - radiální zatížení ložiska ($F_r = F_B = 46,7 \text{ kp}$)

V - rotační součinitel ($V = 1$)

X - radiální součinitel ($X = 1$)

Y - axiální součinitel ($Y = 0$)

Dosazením do (6.15.) dostaneme:

$$F = 1 \cdot 1 \cdot 46,7 + 0 = 46,7 \text{ kp}$$

Potřebná dynamická únosnost:

$$C = F \cdot \sqrt[3]{\frac{L \cdot n}{16666}} \quad [\text{kp}] \quad (6.16.)$$

kde značí:

F - ekvivalentní zatížení ložiska ($F = 46,7 \text{ kp}$)

L - životnost ložiska ($L = 10000 \text{ h}$)

n - otáčky ($n = 3,2 \text{ ot/s} = 191,8 \text{ ot/min}$)

Dosazením do (6.16.) dostaneme:

$$C = 46,7 \cdot \sqrt[3]{\frac{10000 \cdot 191,8}{16666}} = 227,2 \text{ kp}$$

Navrhoji ložisko 6004 Z ČSN 02 4633, které vyhovuje rozměrově a jejíž dynamická únosnost je $C = 735 \text{ kp}$.

2. Ložiska válečků

Jako maximální zatěžující sílu beru sílu $F = F_A = 281,15 \text{ N} = 28,7 \text{ kp}$

Další postup výpočtu je obdobný jako u předešlého výpočtu ložisek.

$$X = 1; Y = 0; V = 1,2; F_r = F_A; F_a = 0$$

dosazením do (6.15.) dostaneme:

$$F = 1 \cdot 1,2 \cdot 28,7 + 0 = 34,44 \text{ kp}$$

maximální otáčky válečku:

$$n_{\max} = \frac{60 \cdot V}{\pi \cdot D} = \frac{60 \cdot 0,92}{\pi \cdot 0,03} = 587,7 \text{ ot/min}$$

dosazením do (6.16.) dostaneme:

$$C = 34,44 \sqrt[3]{\frac{10\,000 \cdot 587,7}{16\,666}} = 234,04 \text{ kp}$$

Navrhoji ložisko 6000 Z ČSM 02 4633, které vyhovuje rozměrově a jehož dynamická únosnost je $C = 360 \text{ kp}$.

6.8. Výpočet pera

Dovolený měrný tlak pro neposuvný náboj $p_{\text{dov}} = 120 \text{ MPa}$

Ramenice bubnu druhého dopravníku:

Průměr hřídele: $0,016 \text{ m} = d$

Výška pera: $h = 0,006 \text{ m}$

Přenášený kroutící moment: $M_k = 9,7 \text{ N m}$

Za vztahu pro velikost měrného tlaku:

$$P_0 = \frac{4 M_k}{h \cdot L \cdot d} = p_{\text{dov}},$$

určíme délku pera:

$$L = \frac{4 M_k}{B \cdot d \cdot p_{\text{dov}}} = \frac{4 \cdot 9,7}{0,006 \cdot 0,016 \cdot 120 \cdot 10^6} = 4,97 \cdot 10^{-3} \text{ m}$$

Volím délku pera $L = 0,016 \text{ m} = 16 \text{ mm}$.

Jelikož ostatní pera řemenic a bubnů jsou namáhéna méně než pero řemenice bubnu druhého dopravníku, volím jejich rozměry stejné, jako rozměry pera vypočítaného.

7. Elektrická instalace

7.1. Elektromotory

a) Elektromotor prvého dopravníku:

Je to elektromotor řady TS 03 04 44 s jedním řebeckovým převodem.

Výkon: $P = 120 \text{ W}$

Převod: $i = 40$

Napětí: $U = 380 \text{ V}$

b) Elektromotor druhého dopravníku:

Je to elektromotor řady TS 03 04 44 s jedním řebeckovým převodem.

Výkon: $P = 250 \text{ W}$

Převod: $i = 14$

Napětí: $U = 380 \text{ V}$

Výrobce elektromotorů: národní podnik Východošlesvanské strojírny v Košicích.

7.2. Elektrické ovládání linky

7.2.1. Výpočet polohy mikrospinače

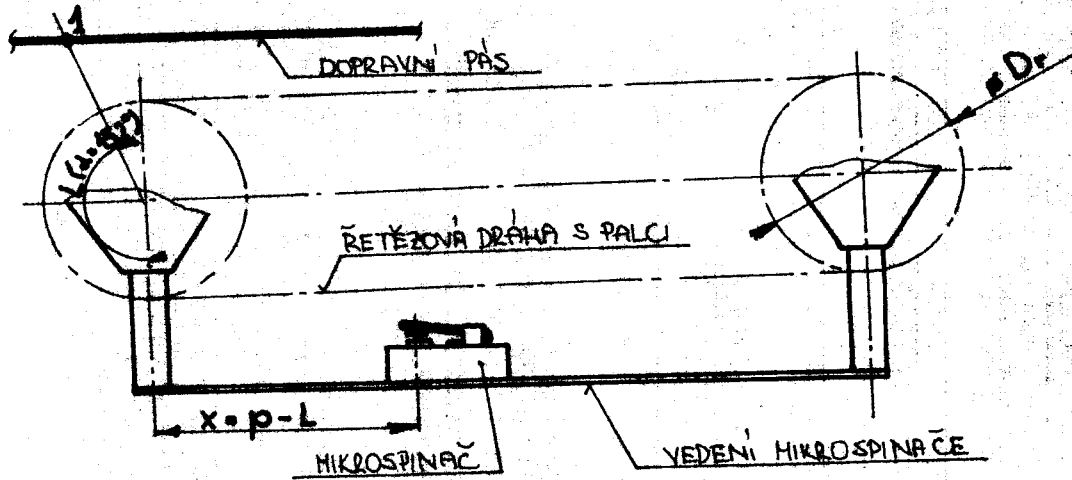
K výpočtu polohy mikrospinače použiji vztahu (5.2.) a (5.3.). Vypočtené hodnoty polohy kontaktu jsou v tabulce 2. Palce, které se pohybují na řetězu mají mezi sebou rozteč $t_p = 0,381 \text{ m}$. Jestliže vzdálenost p výjde větší nežli osová vzdálenost řetězů ($a = 0,6064 \text{ m}$), zdejste od vzdálenosti p libovolný počet roztečí t_p , čímž se funkce dopravníku nezmění.

POLOHA MIKROSPINÁČE - X

TAB. Č.2

FORMAT [mm]	X [mm]
A6	105 211,3
	148 371
M16	120 114,2
	160 48,4
B6	125 87,6
	176 291,6
M8	130 62,8
	210 227,5
A5	148 371
	210 227,5
M8	160 48,4
	240 190,9
B5	176 291,6
	250 181,4
A4	210 227,5
	297 149,5
B4	250 181,4
	353 129,9

Schema řetězové dráhy s mikrospináčem



1 - místo, ve kterém palce vjíždí nad dopravní pás

L - délka kruhového oblouku [m]

p - vypočtená poloha palce [m]

x - vzdálenost palce od osy řetězového kola [m]

Délka kruhového oblouku určíme ze vztahu:

$$L = \frac{\alpha \cdot D_r}{360} \cdot \pi \quad (7.1.)$$

kde značí:

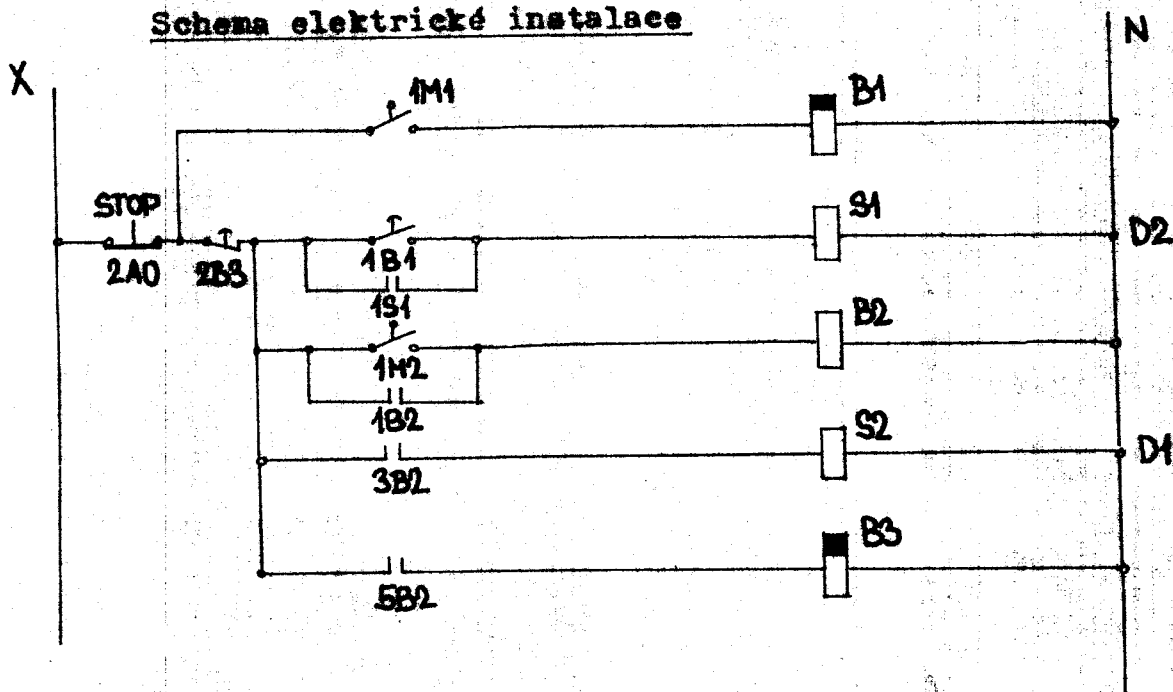
D_r = průměr reztečné kružnice řetězového kola
 $(D_r = 0,0914 \text{ m})$

dosazením do (7.1.) dostaneme:

$$L = \frac{\pi \cdot 0,0914}{360} \cdot 152 = 0,1212 \text{ m}$$

7.3. Funkce elektrické instalace

Schema elektrické instalace



Popis funkce:

Jakmile se pás lepenky dostane mezi výstupní dvojicí vodičůch válečků první řezačky, horní váleček, který plní funkci válečku přitlačného, se nadzdvihne. Tento pohyb je převeden na mikrospinač (1M1-viz schema), který sepnou kontakty časového relé (B1). Toto časové relé po určité době, až když pásy lepenky leží na prvním depravníku sepnou kontakt (1B1), čímž přes stykač (S1) zapne meter druhého depravníku (D2). Tím se uvede do pohybu jak pás druhého depravníku, tak i řetězové dráhy. Palec jedné z řetězových dráh sepnou v určité poloze mikrospinač (1M2), čímž přes kontakty (3B2) relé (B2) a stykač (S2) spustí meter (D1). Současně byly i sepnuto přes kontakt (5B2) relé (B1). Po určitém čase, který se rovná času zpracování jednoho archu lepenky, relé (B3) rozepne kontakt (2B3), který uvede celou linku do klidu. Celý cyklus se opakuje s opětným nalezením archu. Elektrický obvod je opatřen stop tlačítkem (2A0).

Návrh jednotlivých částí elektrického obvodu

Relé B1, B3 - výrobní označení TM 12

Mikrospinače 1M1, 1M2, - výrobní označení 96 901

Stykače S1, S2 - výrobní označení typ 380 V0 3e-
-009 15A; cívka na 220 V

Jističe pro stykače - výrobní označení IJV; 2A

Stop tlačítka - výrobní označení D6 ; 0/1; 250 V;
6A

Celkové seřízení linky bude nutné dočasit až za
prvezu.

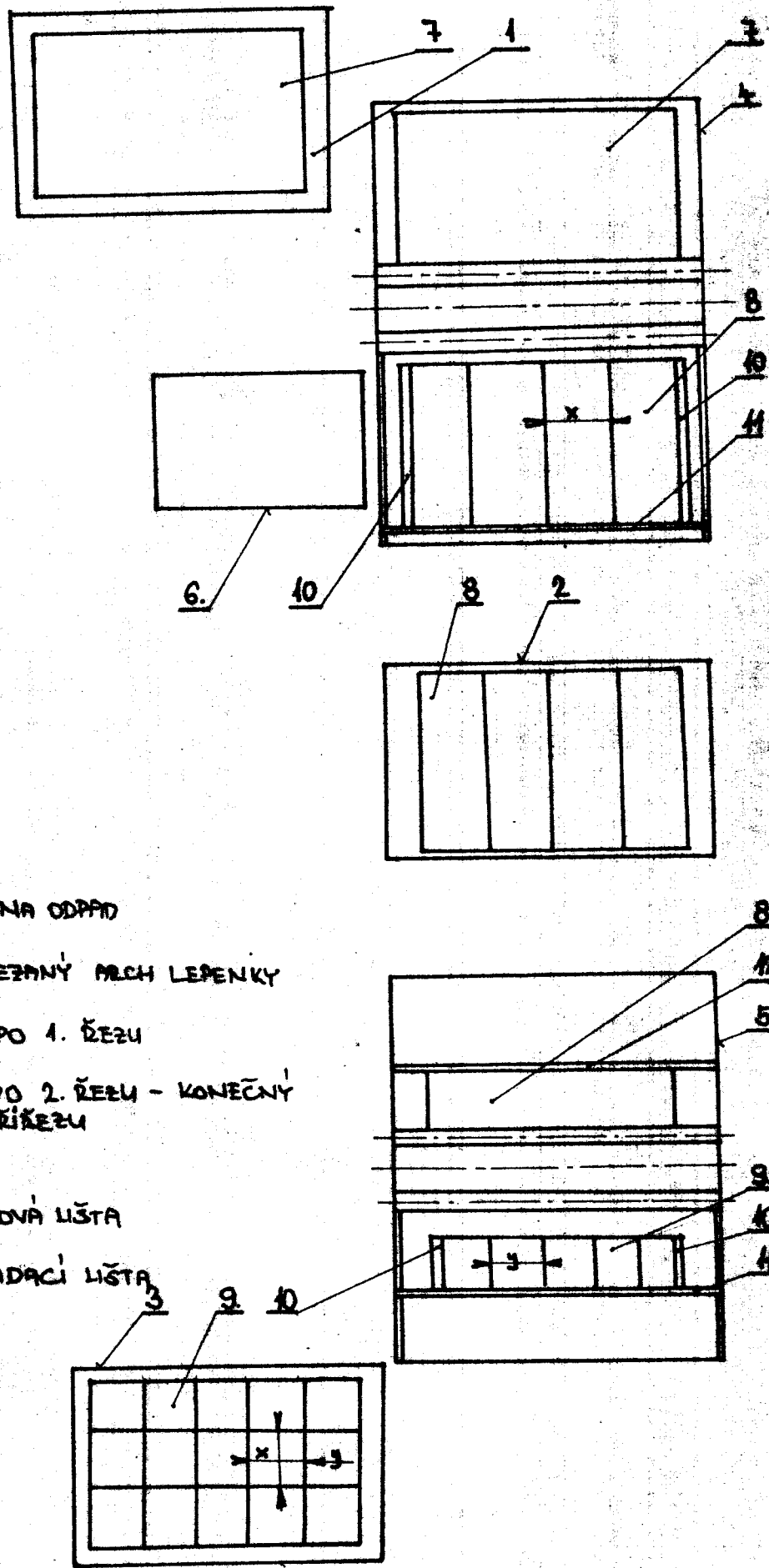
8. Zádružení

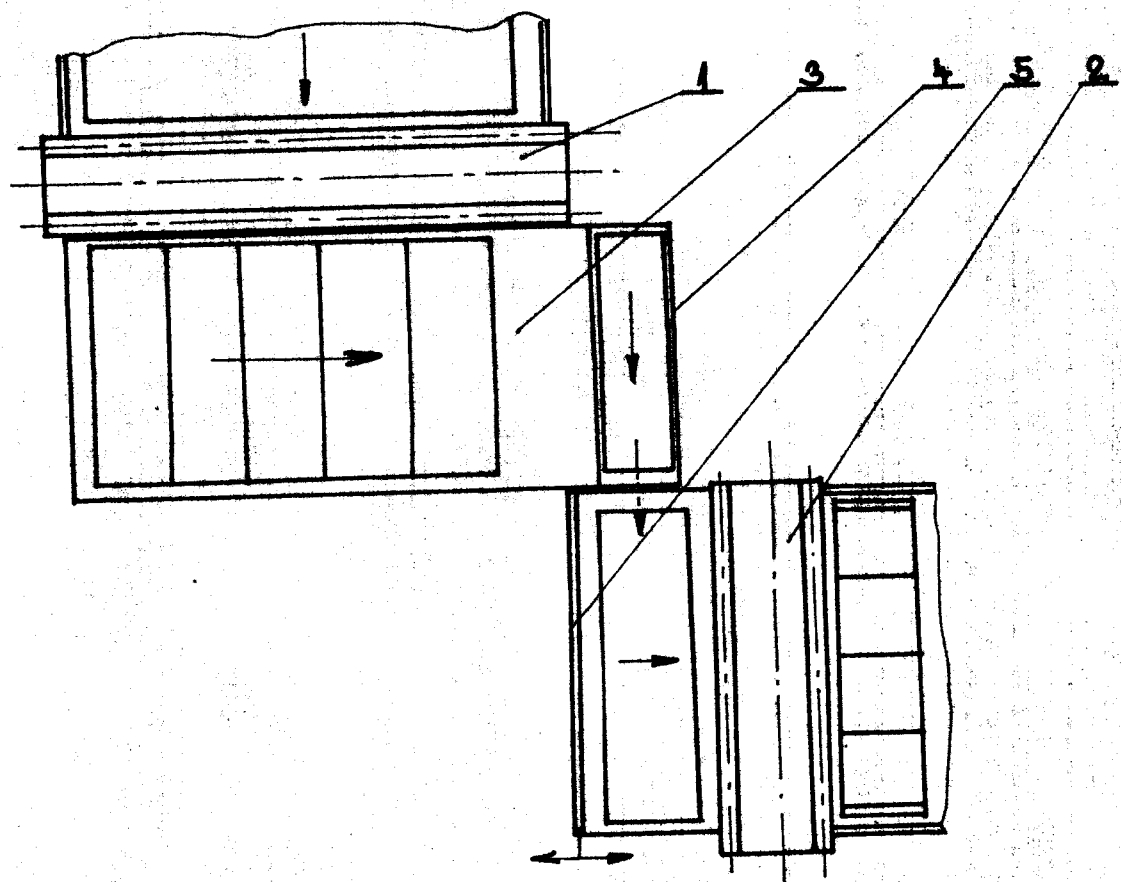
Téma diplomového úkolu skýtalo širokou oblast konstrukčního řešení. Zpočátku diplomové práce jsem byl nerezehný ve volbě nevhodnější koncepce. Nakonec jsem zvolil navrhnuté řešení dopravníku. Chtěl jsem, aby byl co nejjednodušší a přitom splňoval požadavky na něj kladené.

Navržené zařízení přináší oproti dřívějšímu způsobu výroby úsporu jedné pracovní sily. Obsluha pouze neklédá archy lepenky do první řezačky. Po nařezání určitého množství přířezů obsluha odháže odpad a vystahuje vyroběné přířesy na paletu.

Kromě úspory jednoho pracovníka a částečného odstranění ruční manipulace s lepenkou, zařízení přináší úsporu času. Tato úspora by se měla promítat ve zvýšení produktivity práce.

DOSA VADNÍ STAV ROZMÍSTĚNÍ STROJŮ NA DÍLNU



PRVNÍ NÁVRH ŘEŠENÍ

1 - KP 138

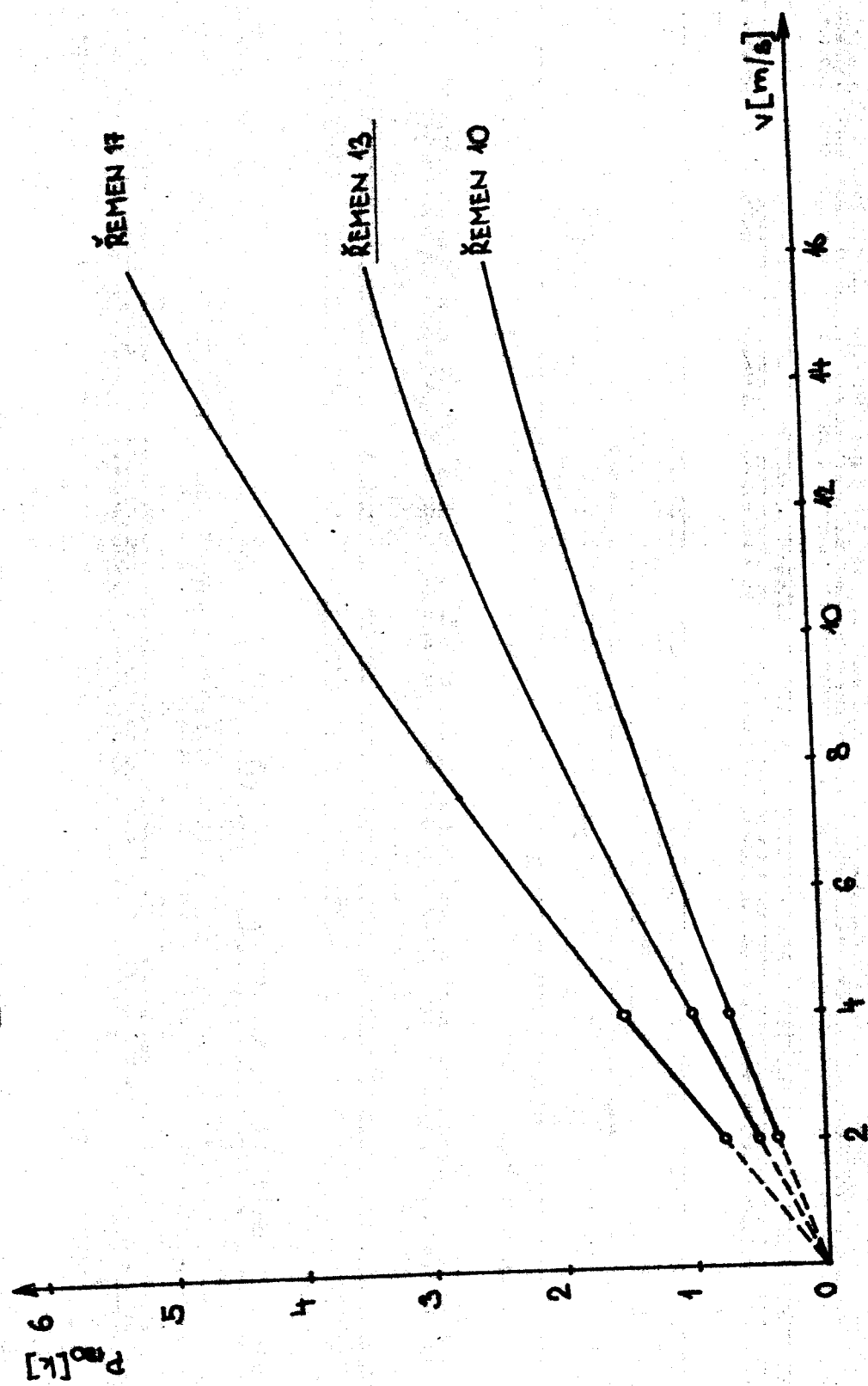
2 - DP 130

3 - DOPRANÍK

4 - MEZIZÁSOBNÍK

5 - NAKLÁDACÍ LÍSTA

PRŮBĚH VÝKONU PŘENÁŠENÉHO KINOVÝM ŘEMENEM.



LINEÁRNÍ ČÍST PŘENAŠENÉHO VÝKONU

ŘEMEN 42

ŘEMEN 10

$P_{\text{výk}} [kW]$

0,5

0,4

0,3

0,2

0,1

0,0788

0,24

0,1

0,04

0,06

0,08

0,1

0,12

0,14



9. Seznam příloh

Výkresy:

- 0 BP 84 - 01.00. : Výkres sestavení nosičepradního dopravníku
0 BP 84 - 02.00. : Výkres nosného rámu prvého dopravníku
0 BP 84 - 03.00. : Výkres nosného rámu druhého dopravníku
2 BP 84 - 04.00. : Dispoziční výkres linky
2 BP 84 - 01.01. : Výkres hnacího bubnu
2 BP 84 - 01.02. : Výkres hnacího bubnu
2 BP 84 - 01.03. : Výkres vělečku
4 BP 84 - 01.04. : Výkres palce

Grafy a skice:

- příloha č. 1 : Skica dělavnáho rozmištění strojů na dílně - list č. 43
příloha č. 2 : Skica prvého návrhu řešení - list č. 44
příloha č. 3 : Průběh přenášeného výkonu klinovým řemenem - list č. 45
příloha č. 4 : Lineární část přenášeného výkonu - list č. 46

10. Seznam použitých literatury

1. Holub J. : Dopravní pády a hmotní těžky
SNTL Praha 1962
2. Dřežan P. : Transportní satízení
SNTL Praha 1966
3. Bolek A. : Části strojů - dny 61.
ČSAV Praha 1963
4. Bartoš J. : Strojnické tabulky
SNTL Praha 1970
5. Vršal B. : Strojnické tabulky
SNTL Praha 1971
6. Katalog převodových elektromotorů řady
TS 030444
7. Katalog jílových profilů - MHEK Ostrava - Katalog
8. Hadimov A. : Technické tkaniny
SNTL Praha 1959
9. Hujov B. : Diplomová práce
VUT Liberec 1972

III. Závěr

Závěrem diplomové práce bych chtěl svědčit pro
doktorát a. Ing. R. Dřapákoví a s. O. Stejskalovi,
zaměstnanci národního podniku Severografia, i všechny
osobám za celou přípravu a rady, které mi
umožnili vypracovat tuto diplomní práci.

Prohlášení

Městopříseňně prohlašuji, že jsem diplomovou
práci vypracoval samostatně a použitím uvedené li-
teratury.

V Liberci dne 27. května 1977.

Hansel Jaroslav

	Položka	Mat. konečný	Mat. výchozí	Výměna odp.	C.
	3	4	5	6	7
1	NICE 140-25	ČSN 427510 11416.1			0,9
1	BUBEN - TRUBKA Ø 95x7-1220	ČSN 425715 11416.1		001	13,4 2 -01.
1	BUBEN - TRUBKA Ø 152x10-1220	ČSN 425715 11416.1		001	16,2
1	BUBEN - TRUBKA Ø 121x7-1220	ČSN 425715 11416.1		001	14,2 2 BP 84- -01.02
3	VÁLCEK - TRUBKA Ø 32x5-1220	ČSN 425715 11416.1		001	3,09 2 BP 84- -01.03
4	VÁLCEK - TRUBKA Ø 32x5-1220	ČSN 425715 11416.1		001	3,09
6	METRICKA 100-25	ČSN 426510 113373		001	2,9
12	PALEČ				4 BP 84- -01.04
1	DRŽÁK	10 370		001	
5	DRŽÁK	10 370		001	
5	VÍČKO TYČ 6x80-90	ČSN 426522 11 343		001	0,34
3	DRŽÁK	10 370		001	
1	DRŽÁK	10 370		001	
1	VÍČKO TYČ 5x70-80	ČSN 426522 11 343		001	0,22
1	DESKA 5x135x1600	PŘEKLIŽKA			
1	DESKA 5x135x820	PŘEKLIŽKA			
1	DESKA 5x135x250	PŘEKLIŽKA			
2	DRŽÁK TYČ 32x25-30	ČSN 426522 11 343		001	
1	DORAZ PLECH 3x45x1450	ČSN 425381 10370.1		001	0,19
4	PODLOŽKA PLECH 3x50x50	ČSN 425381 10370.1		001	0,06
Místník	Kresl. HONZEK	PROSÍK	Cts. anim.		
	Přezkoušel			E	
	Norm. ref.			E	
	Výpr. projednal	Schvábil	C. transp.	E	
		Dne 17. 3. 1977		E	

VŠST LIB.	Typ Název	Skupina	Starý výkres	Nový výkres
	DOPRAVNÍK		0.BP84-0100.	1
			Počet listů	

Počet kusů	Název - rozsáhlý	Položka	Mat. koncový	Mat. výchozí	Třída odp.	C. výhva	Hr. výhva	Číslo výkresu
1	2	3	4	5	6	7	8	9
1	VEDENÍ TYC 14x2-610	ČSN 426522	11 343		001		0,14	21
2	MATICE M 11-10	ČSN 426510	11 373		001			22
2	DRŽÁK ŠROUBŮ TYC 36x5-40	ČSN 426522	11 343		001		0,06	23
2	HŘÍDEL M 20-1290	ČSN 426510	11 373		001		3,2	24
1	NÁBOJ M 38-100	ČSN 426510	11 373		001		0,89	25
1	NÁBOJ M 38-100	ČSN 426510	11 373		001		0,89	26
1	RÁM 1						0 BP 84- - 02.00	27
1	RÁM 2						0 BP 84- - 03.00	28
2	RAMENO 27x14x2-230	HN 426936	11 321		001		0,3	29
1	MOTOR 030444.2-120x40	2AP71-4B-380						30
1	MOTOR 030444.1-250x14	2AP71-4B-380						31
1	VARIÁTOR VUMA-KM1-1:KR2-2							32
1	INSTRUMENTAC 96 961							33
6	LOZÍSKO 6004 Z	ČSN 024633						34
4	LOZÍSKO 6004	ČSN 024633						35
10	KROUŽEK 20x40x10	ON 029401						36
24	ŠROUB M 6x22	ČSN 021101						37
8	ŠROUB M 8x28	ČSN 021101						38
4	ŠROUB M10x30	ČSN 021101						39
4	ŠROUB M4x12	ČSN 021131						40
Dodatek	Kreslil HONZEK	PROJEKTOVAN	Císl. anim.					x
	Průkazatel							x
	Norm. ref.							x
	Výr. projednál	Schvábil	C. transp.					x
	Dne 13.5.1974							x
Typ		Skupina	Starý výkres			Nový výkres		
Název								
VŠST LIB.		DOPRAVNÍK	0.BP84-01.00.			Podatek		
						List		
						2		

Počet kusů	Název - rozměr	Početová	Mat. konečný	Mat. výchozí	Třída odp.	C. výška	Hr. výška	Cislo
1	2	3	4	5	6	7	8	9
2	ŠROUB M3x6	ČSN 021131						41
15	ŠROUB M4x18	ČSN 021101						42
2	ŠROUB M5x5	ČSN 021185						43
2	ŠROUB M5x15	ČSN 021162						44
2	ŠROUB M8x40	ČSN 021101						45
20	MATICE M6	ČSN 021401						46
8	MATICE M8	ČSN 021401						47
4	MATICE M10	ČSN 021401						48
6	MATICE M10x1,5	ČSN 021403						49
20	PODLOŽKA 6,1	ČSN 021740						50
8	PODLOŽKA 8,2	ČSN 021740						51
2	PODLOŽKA 4,1	ČSN 021740						52
2	PODLOŽKA 3,1	ČSN 021740						53
15	PODLOŽKA 4,1	ČSN 021740						54
6	PODLOŽKA 10,2	ČSN 021740						55
10	PEHO 6x6x16	ČSN 022562						56
2	PEHO 6x6x26	ČSN 022562						57
17	KR尤ZEK 20	ČSN 022930						58
10	KR尤ZEK 42	ČSN 022931						59
4	NÍT 3,5x10	ČSN 022301.1						60

Matrika	Kresl. HONZEL	JAROSLAV	Cis. anlím.	C. transp.	O C E S E N	E B B B B B G	A A A A A A	Index Kresly Index
	Překoušel							
	Nozn. ref.							
	Výr. projednal	Schválil						
		Dne 24.5.1977						

VŠST LIB.	TYP Název	Skupina	Starý výkres	Nový výkres
			Počet listů	Lst
	DOPRAVNÍK		0.BP84-01.00.	3

Počet kusů	Název - rozměr	Položovat	Mat. koncový	Mat. výchozí	Třída odp.	C. věka	Hr. věhu	Číslo výkresu	Poz.
1	2	3	4	5	6	7	8	9	10
4	DRŽÁK PLECH 3x60x130	ČSN 425310	10 370-1		001		0,19		1
4	LOŽÍ TYC 22x8-40	ČSN 426522	11 343		001		0,06		2
2	LOŽÍ TYC 20x8-70	ČSN 426522	11 343		001		0,09		3
20	PODPORA TYC 10x5-55	ČSN 426522	11 343		001		0,02		4
2	OPĚRKA TYC 14x5-85	ČSN 426522	11 343		001		0,05		5
2	VEZENÍ TYC 16x3-1300	ČSN 426522	11 343		001		0,49		6
1	DESKA PLECH 5x120x1350	ČSN 425310	10 370		001		6,4		7
1	DESKA PLECH 5x210x1250	ČSN 425310	10 370		001		10,3		8
4	DESKA PLECH 8x80x130	ČSN 425310	10 370		001		0,7		9
4	DRŽÁK TYC 45x5-90	ČSN 426522	10 343		001		0,16		10
2	RÁM 35x35x2,5-1580	HN 426963	10 370		001		3,1		11
4	NOHA 36x24x2-880	HN 426936	11 321		001		1,5		12
2	ROZPERA 120x20x2-1250	HN 426935	11 321		001		1,42		13
4	ČEP 30x30x1,5-27	HN 426935	11 321		001		0,04		14
2	PŘÍČNÍK 36x24x2-1340	HN 426936	11 321		001		2,4		15
4	ČEP # 16-75	ČSN 426510	11 343		001				16
8	ČEP # 10-50	ČSN 426510	11 343		001				17
4	MATICE M 16	ČSN 021401							18
8	MATICE M 8	ČSN 021401							19
4	PODLOŽKA 17	ČSN 021702-11							20

Měřítko	Kreslili: HONZEL	Jednotky	Cis. sním.
Překoupení			
Norm. ref.			
Výr. projednál	Schvalil:	C. transp.	
	Dne 22.5.1984		

O	C	E	I	Index změny
-	-	-	-	x
-	-	-	-	x
-	-	-	-	x
-	-	-	-	x

VŠST LIB.	Typ Název	Skladba	Starý výkres	Newý výkres	List
			0.BP84-02.00.		1
			Počet listů		

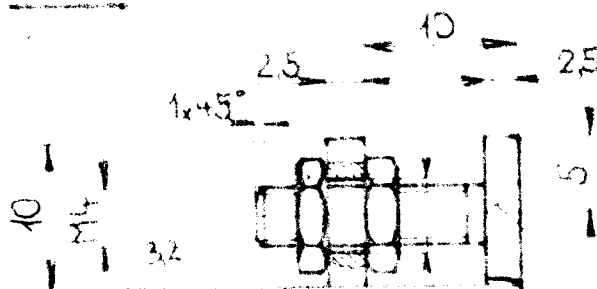
Město	Kresl. <u>HONZAK</u>	<u>39050 LAV</u>	Cis. anim.	Změna	Datum	Pedag.	Index změny
Plastikové							x
Norm. ref.							x
Výr. projednáv	Schwein	C. transp.	Změna				x
	Dne <u>27.5.1977</u>						x

Typ	Skupina	Starý výkres	Nový výkres
VŠST LIB.	Název NOSNÝ RÁM 1	0.BP84-02.00. Počet listů	List 2

Pořad. kusu	Název - rozměr	Položovat	Mater. koncový	Mater. výhodní	Tlouš. odp.	C. výhod.	Hr. výhod.	Číslo výkresu	Pos.
1	2	3	4	5	6	7	8	9	10
4	LOŽÍ TYČ 22 x 8 - 190	ČSN 426522	11 343		001		0,12		1
2	LOŽÍ TYČ 20 x 8 - 70	ČSN 426522	11 343		001		0,11		2
1	PODPORA TYČ 10 x 5-1240	ČSN 426522	11 343		001		0,49		3
14	PODPORA TYČ 10 x 5 - 55	ČSN 426522	11 343		001		0,22		4
1	DESKA PLECH 5x210-1250	ČSN 425310	10 370		001		10,3		5
1	DESKA PLECH 5x120x1350	ČSN 425310	10 370		001		6,3		6
4	DESKA PLECH 8x80x130	ČSN 425310	10 370		001		0,65		7
4	DRŽÁK TYČ 45x5-90	ČSN 426522	11 343		001		0,16		8
2	RÁM 35 x 35 x 25-1050	HN 426963	10 370		001		2,1		9
4	NOHA 36x24x2-880	HN 426936	11 321		001		1,6		10
2	ROZPĚRA 20x20x2-1250	HN 426935	11 321		001		1,4		11
2	PŘÍČNÍK 36x24x2-870	HN 426936	11 321		001		1,6		12
4	ČEP ø 16 - 75	ČSN 426510	11 343		001				13
8	ČEP ø 10 - 50	ČSN 426510	11 343		001				14
4	MATICE M 16	ČSN 021401							15
8	MATICE M 10	ČSN 021401							16
4	PODLOŽKA 16,3	ČSN 021740							17
8	PODLOŽKA 10,5	ČSN 021740							18
									19
									20

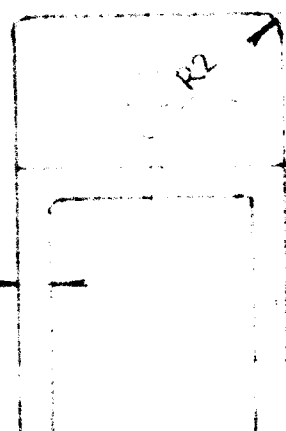
Měřítko	Kreslil	HONZEL	Cis. sním.						x	
	Plackoutel									x
	Norm. ref.									x
	Výr. projednali	Schválili		C. transp.						x
		Dne 27.5.1987								

VŠST LIB.	Typ	Skupina	Starý výkres	Nový výkres	
	Název				
	NOSNÝ RÁM 2		0.BP84-03.00.		
			Počet listů		List

5

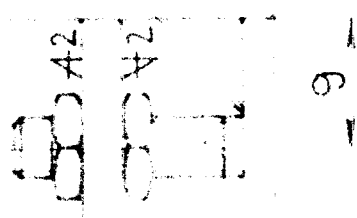
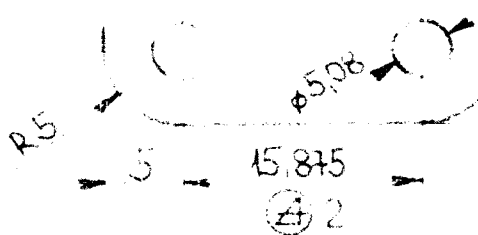
32

18

3

78

18



1 2 4 1

1 4 5

2	MATCE M4	ČSN 02 14 03						5
1	ČEP Ø 14	ČSN 42 6510	11 343		001	0,01		4
1	DUBA Ø 15 x 25 x 20	ČSN 42 6522	11 343		001	0,01		3
1	DRŽÁK TYP 10 x 25 x 20	ČSN 42 6522	11 343		001	0,01		2
1	TELESO PLECH 25 x 8 x 60	ČSN 42 6303	45 230 3		035	0,03		1

Hlavní výrobek

21

2-5.12.87

VŠST
LIB.

PALEC

4BP84-01.04.